

Calculatoare Numerice (2)

– Cursul 9 –

Interfațarea cu dispozitivele I/O

Facultatea de Automatică și Calculatoare
Universitatea Politehnica București



the night

I lost control

Dispozitive Input/Output

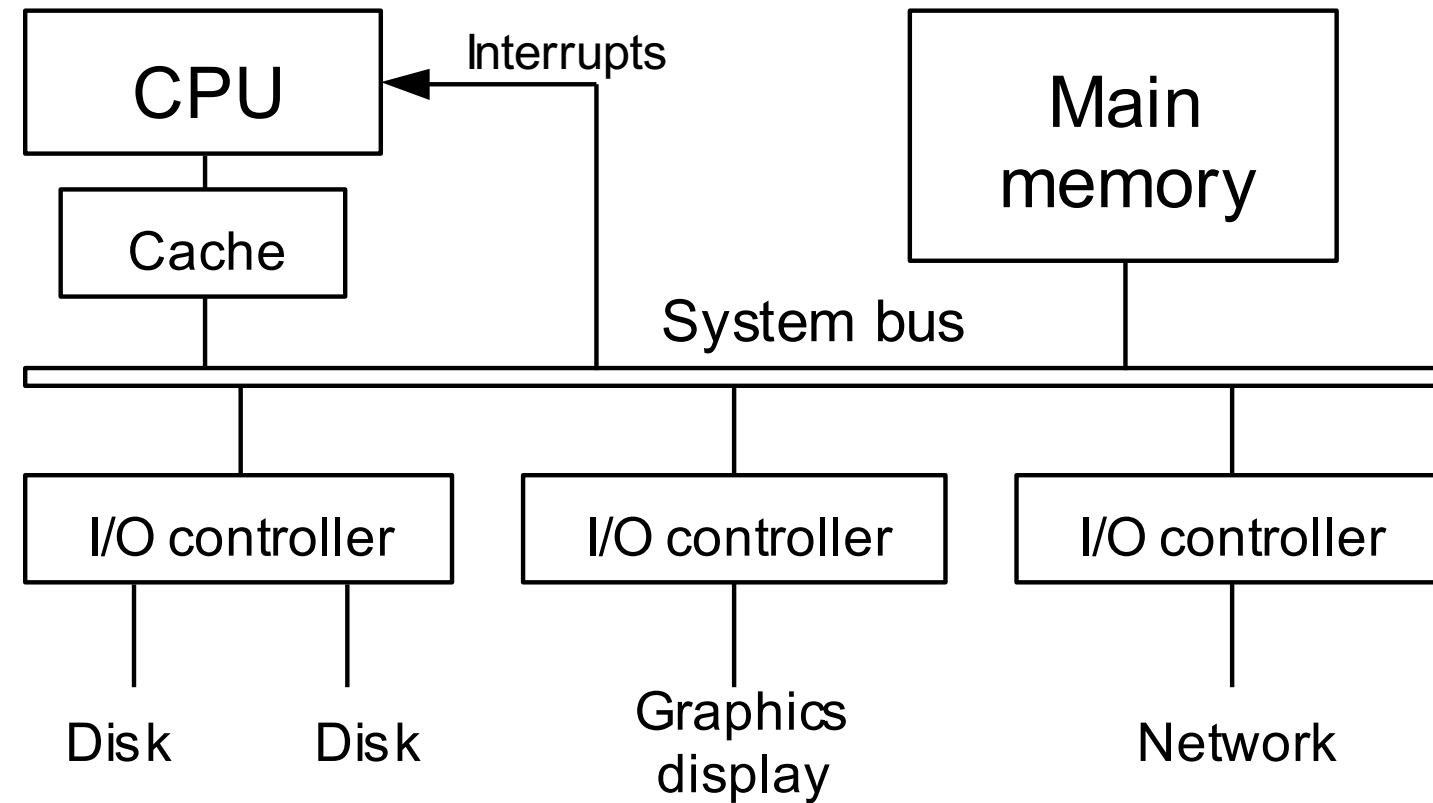
Cuprins

1. Dispozitive și controlere Input/Output
2. Keyboard and Mouse
3. Unități de display
4. Dispozitive de imprimare
5. Alte dispozitive Input/Output
6. Conectarea în rețea a dispozitivelor Input/Output

Dispozitive și controlere de intrare/ieșire

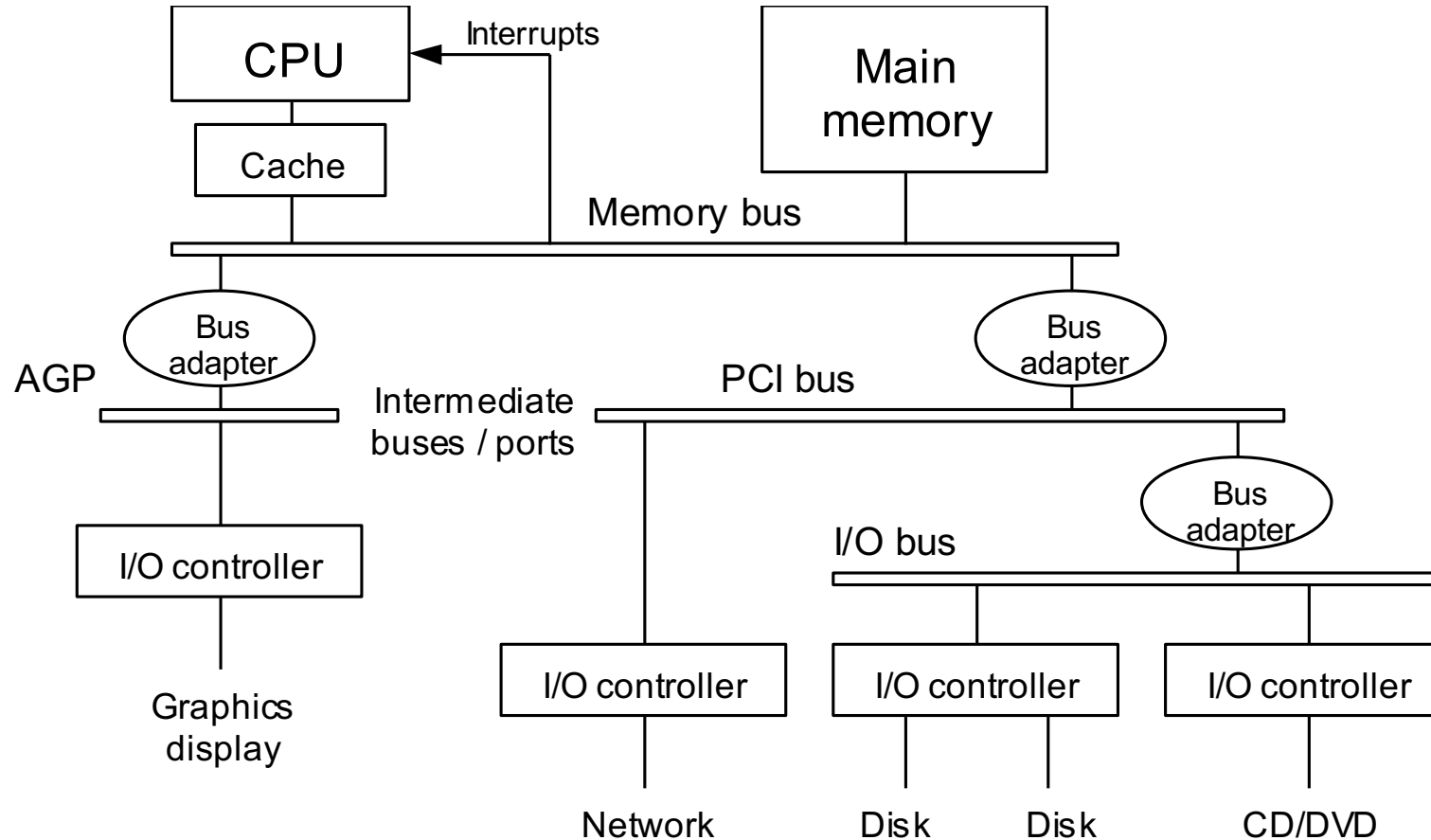
Input type	Prime examples	Other examples	Data rate (b/s)	Main uses
Symbol	Keyboard, keypad	Music note, OCR	10s	Ubiquitous
Position	Mouse, touchpad	Stick, wheel, glove	100s	Ubiquitous
Identity	Barcode reader	Badge, fingerprint	100s	Sales, security
Sensory	Touch, motion, light	Scent, brain signal	100s	Control, security
Audio	Microphone	Phone, radio, tape	1000s	Ubiquitous
Image	Scanner, camera	Graphic tablet	1000s- 10^6 s	Photos, publishing
Video	Camcorder, DVD	VCR, TV cable	1000s- 10^9 s	Entertainment
Output type	Prime examples	Other examples	Data rate (b/s)	Main uses
Symbol	LCD line segments	LED, status light	10s	Ubiquitous
Position	Stepper motor	Robotic motion	100s	Ubiquitous
Warning	Buzzer, bell, siren	Flashing light	A few	Safety, security
Sensory	Braille text	Scent, brain stimulus	100s	Personal assistance
Audio	Speaker, audiotape	Voice synthesizer	1000s	Ubiquitous
Image	Monitor, printer	Plotter, microfilm	1000s	Ubiquitous
Video	Monitor, TV screen	Film/video recorder	1000s- 10^9 s	Entertainment
Two-way I/O	Prime examples	Other examples	Data rate (b/s)	Main uses
Mass storage	Hard/floppy disk	CD, tape, archive	10^6 s	Ubiquitous
Network	Modem, fax, LAN	Cable, DSL, ATM	1000s- 10^9 s	Ubiquitous

Diagrama unui sistem cu Input/Output



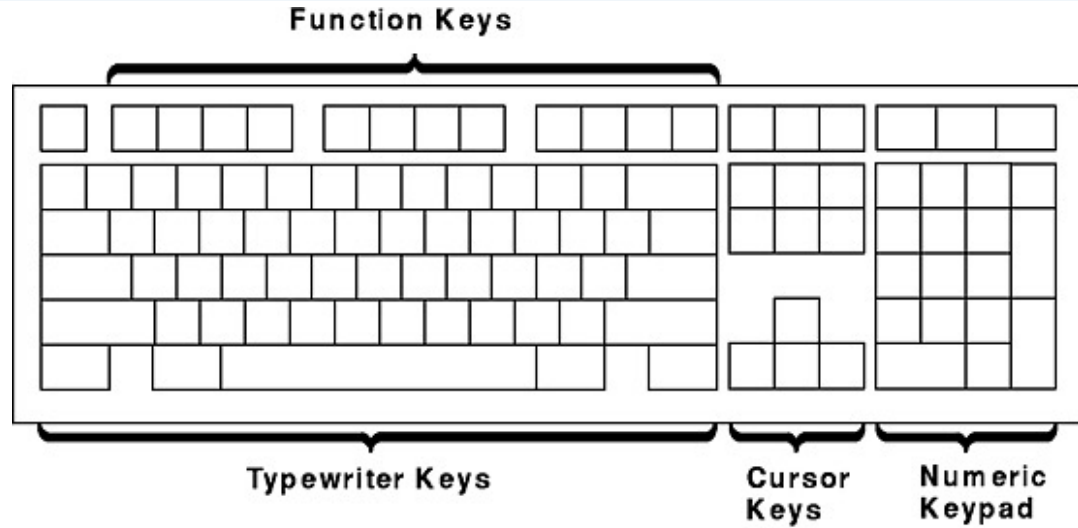
Sistem de input/output printr-un singur bus de date comun.

Organizarea I/O pentru performanță mărită

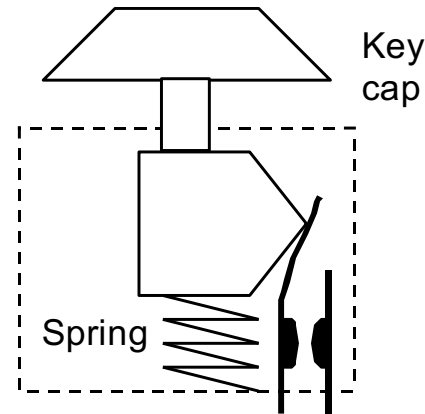


Input/output prin bus-uri de date intermediare sau dedicate

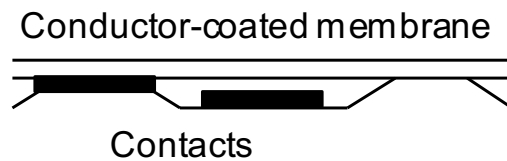
Tastatură și mouse



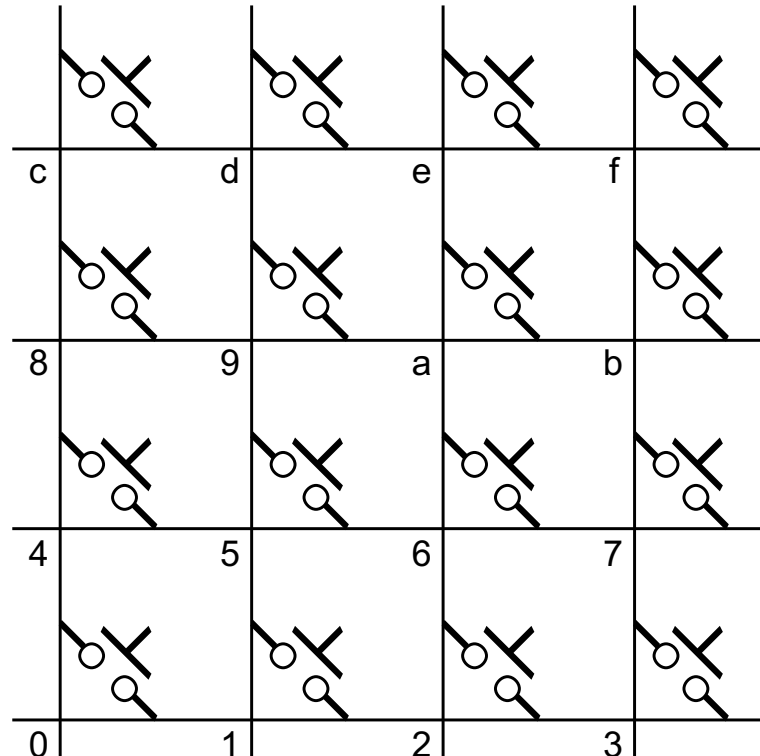
Butoanele tastaturii și codificarea lor



(a) Mechanical switch
with a plunger



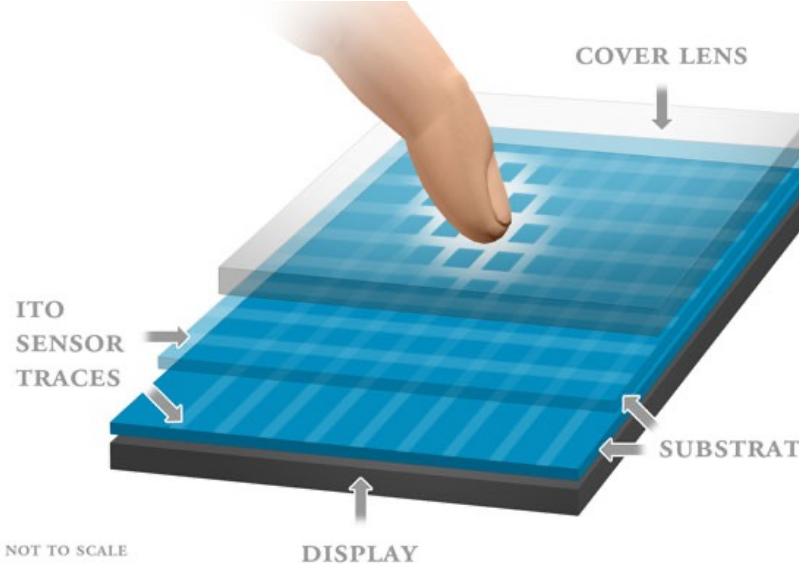
(b) Membrane switch



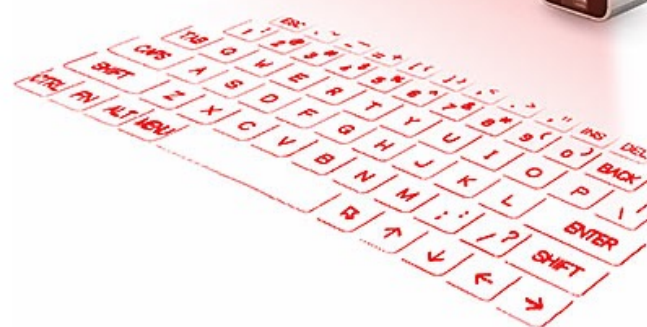
(c) Logical arrangement of keys

Două tipuri de butoane și schema logică a conectării lor într-o tastatură hexazecimală

Tastatură cu proiecție sau capacativă



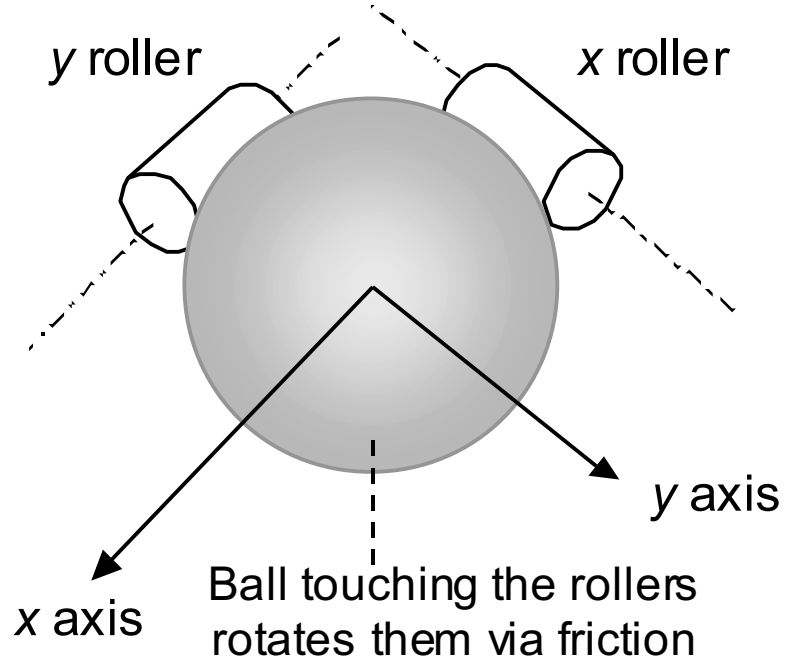
2. A capacitive-type touchscreen (self or absolute capacitive type)—a laminate of multiple substrates (either PET, or glass as shown) or, in some cases a single substrate—contains a matrix of clear conductive electrodes (made by patterning a clear conductor like ITO). This substrate(s) is then laminated to a top cover lens (either glass or PET). When a user's finger touches the cover lens, it increases the measured capacitance of the electrodes closest to the finger. This change in capacitance is used to compute the location of the finger within the capacitive touchscreen.



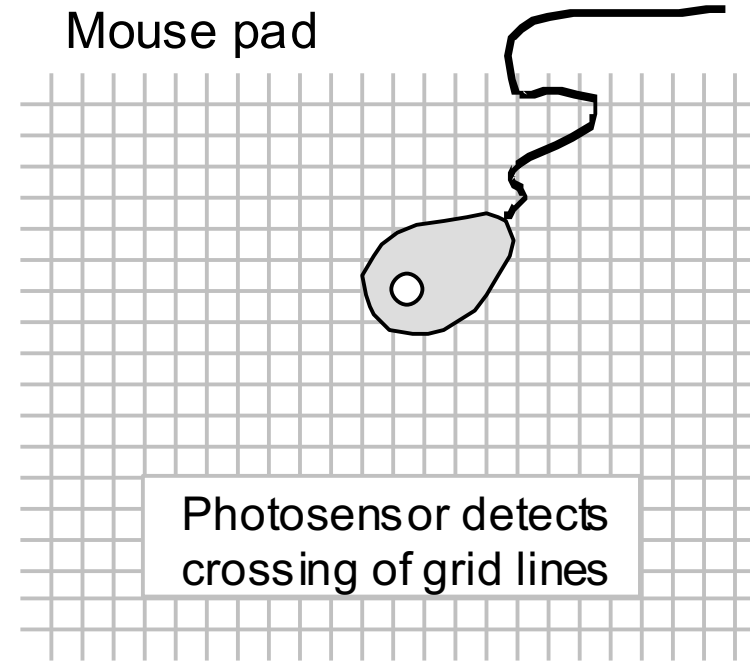
Dispozitive pentru indicat



Cum funcționează un mouse



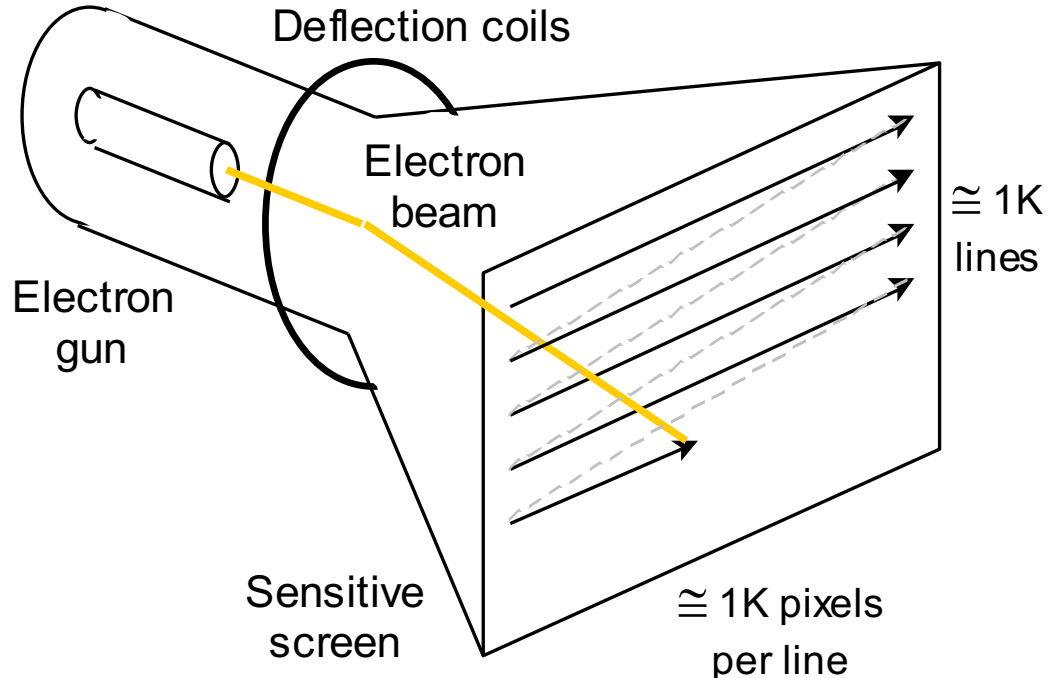
(a) Mechanical mouse



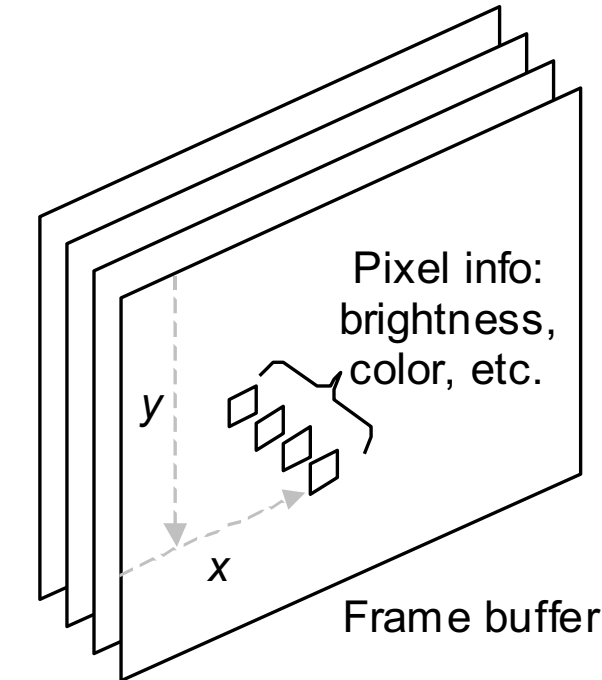
(b) Optical mouse

Mouse mecanic (cu bilă) și optic.

Unități de afișare



(a) Image formation on a CRT



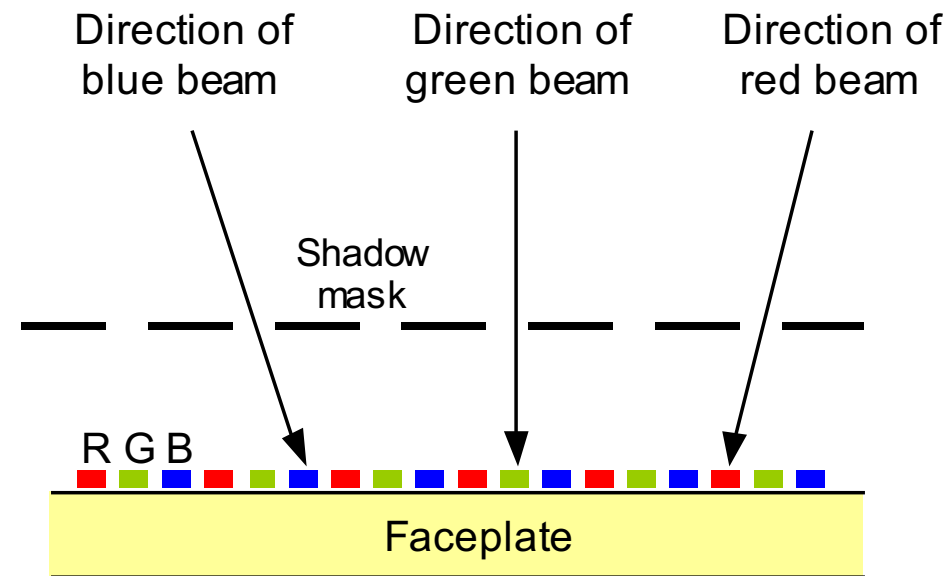
(b) Data defining the image

Display CRT și imaginea stocată în frame buffer.

Cum funcționează un display CRT



(a) The RGB color stripes



(b) Use of shadow mask

Schema e culori RGB pentru un display CRT modern.

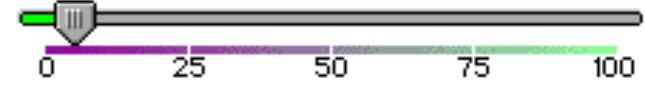
Codificarea culorilor în formatul RGB

Red:



56 %

Green:

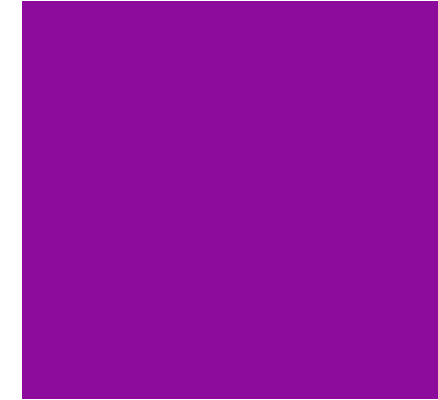


5 %

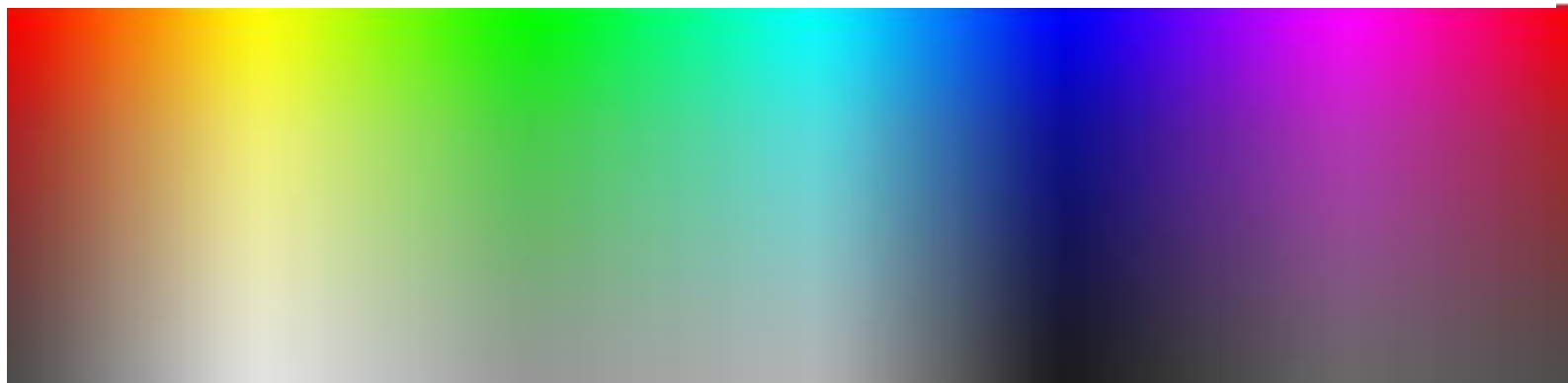
Blue:



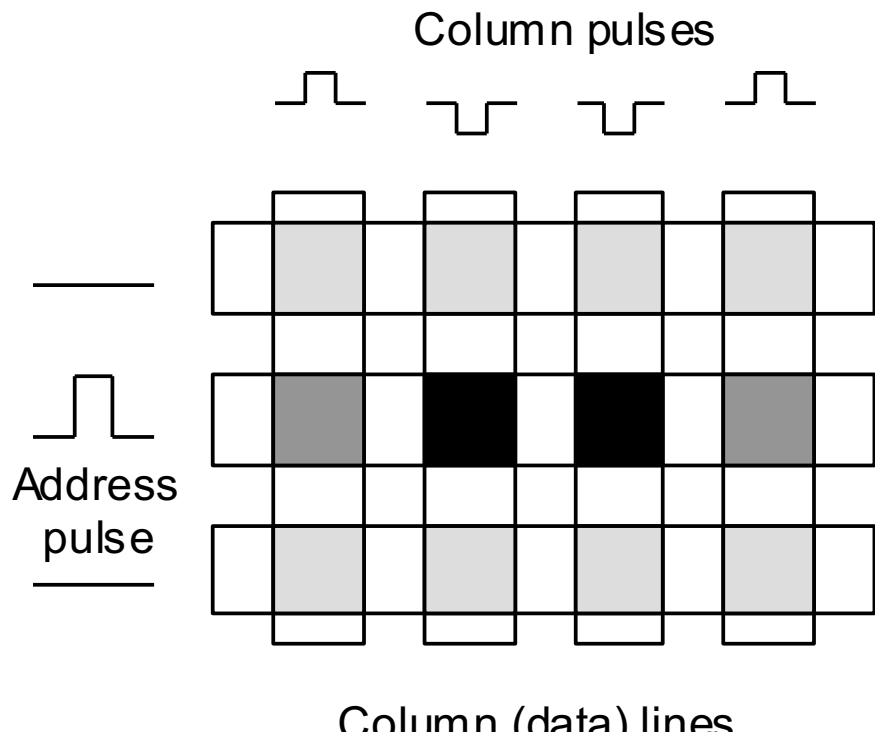
61 %



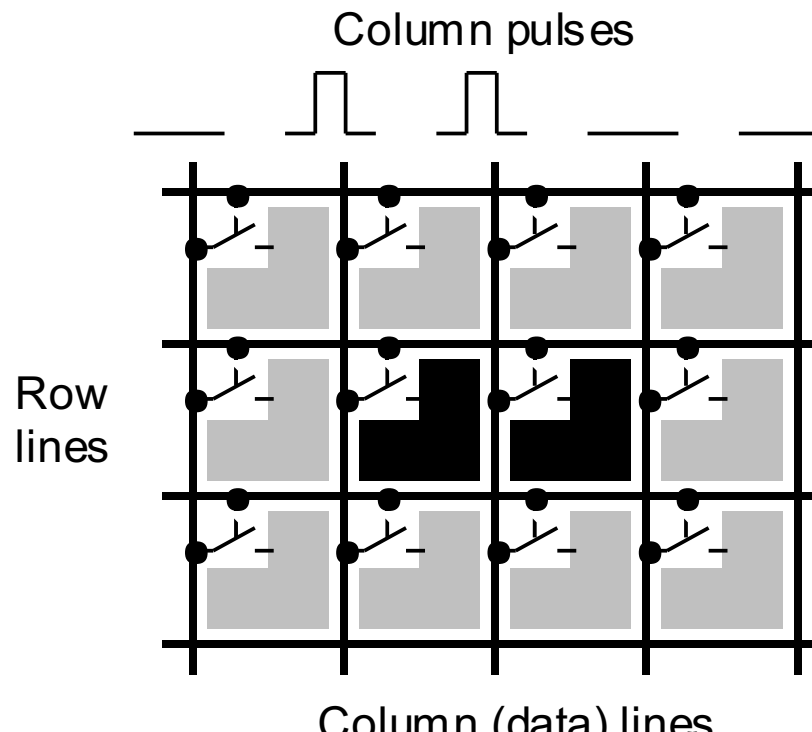
Nuanța și saturația afectează aspectul unei culori (saturație maximă sus, saturație minimă la bază)



Display-uri LCD



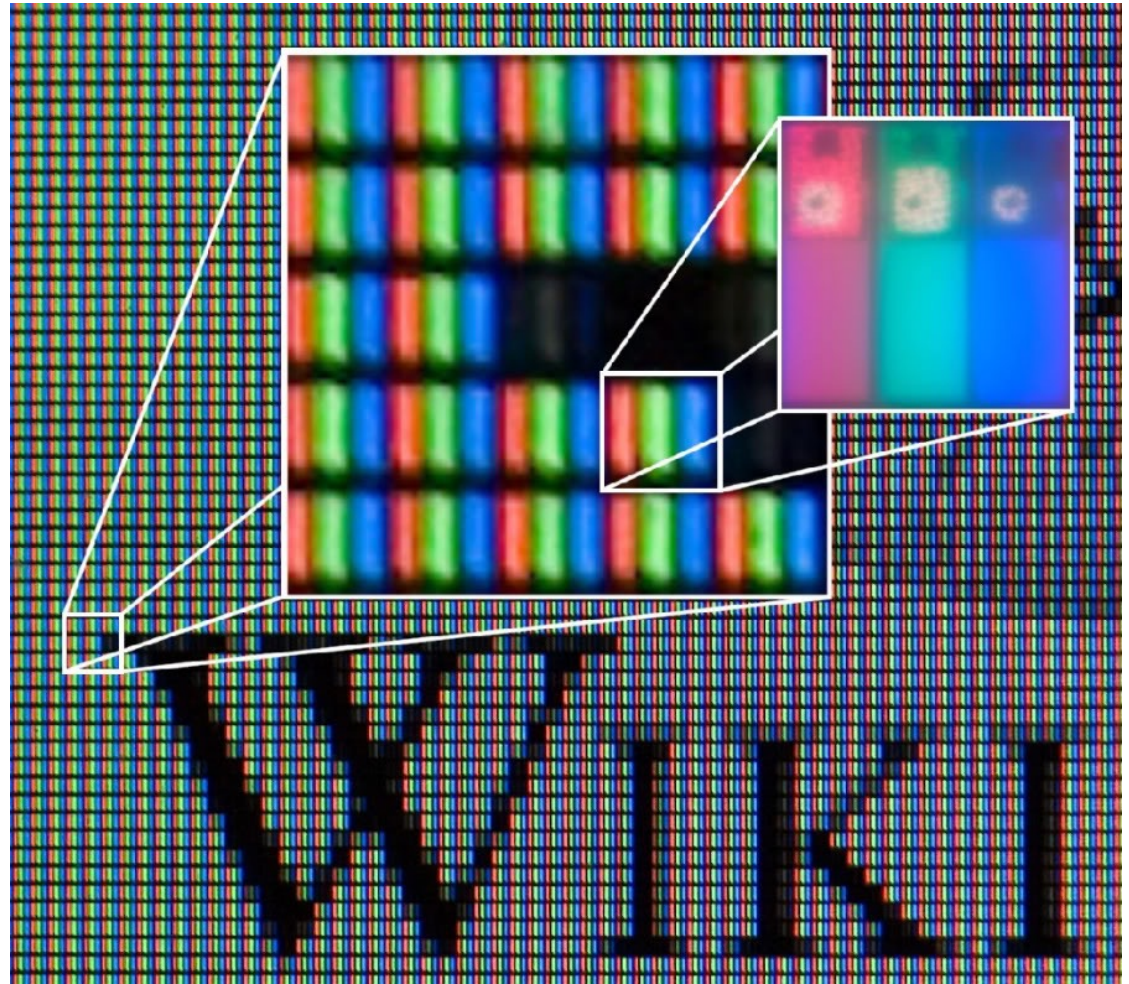
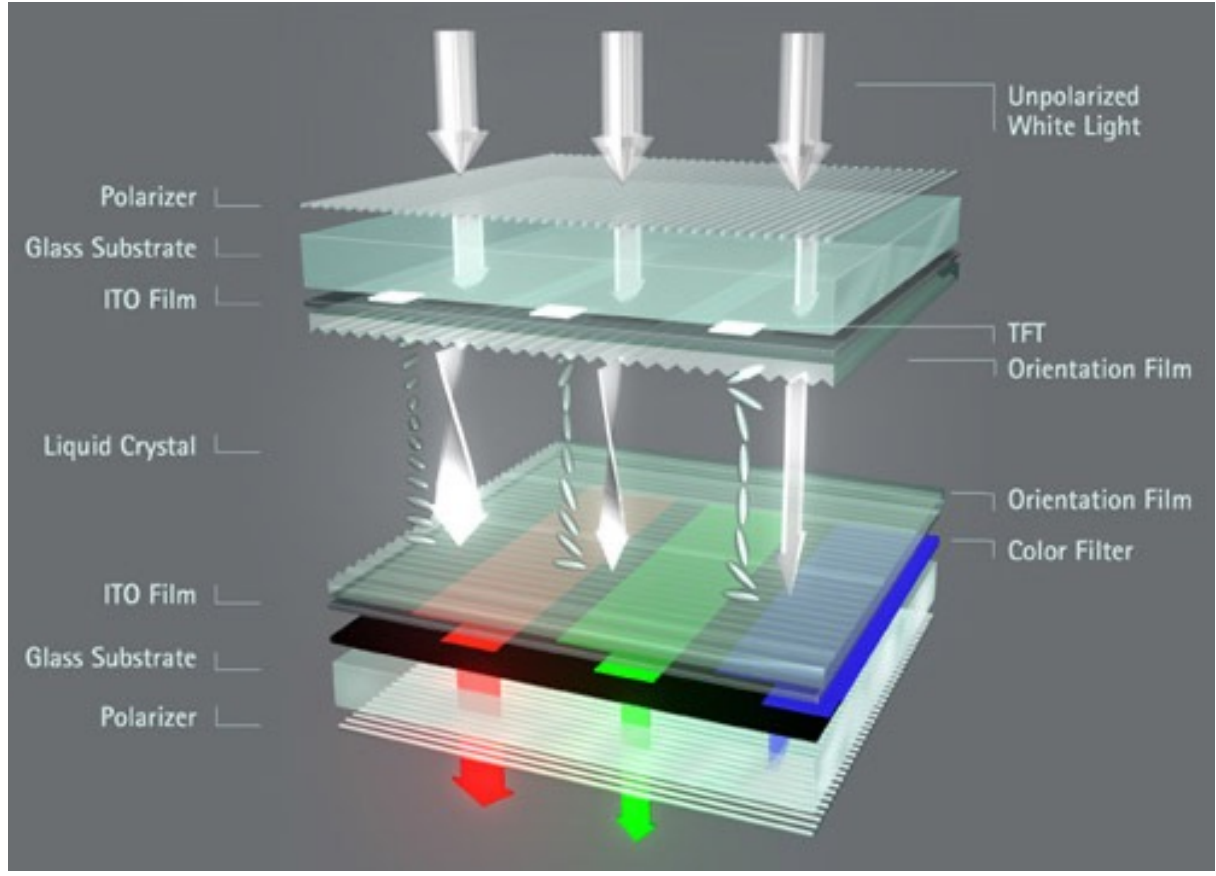
(a) Passive display



(b) Active display

Display-uri LCD active și pasive

Pixelii într-un ecran LCD modern



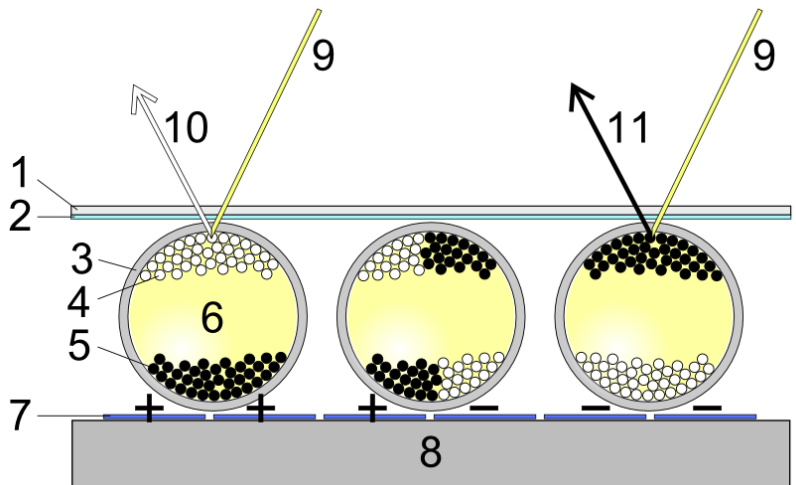
Unități de display flexibile



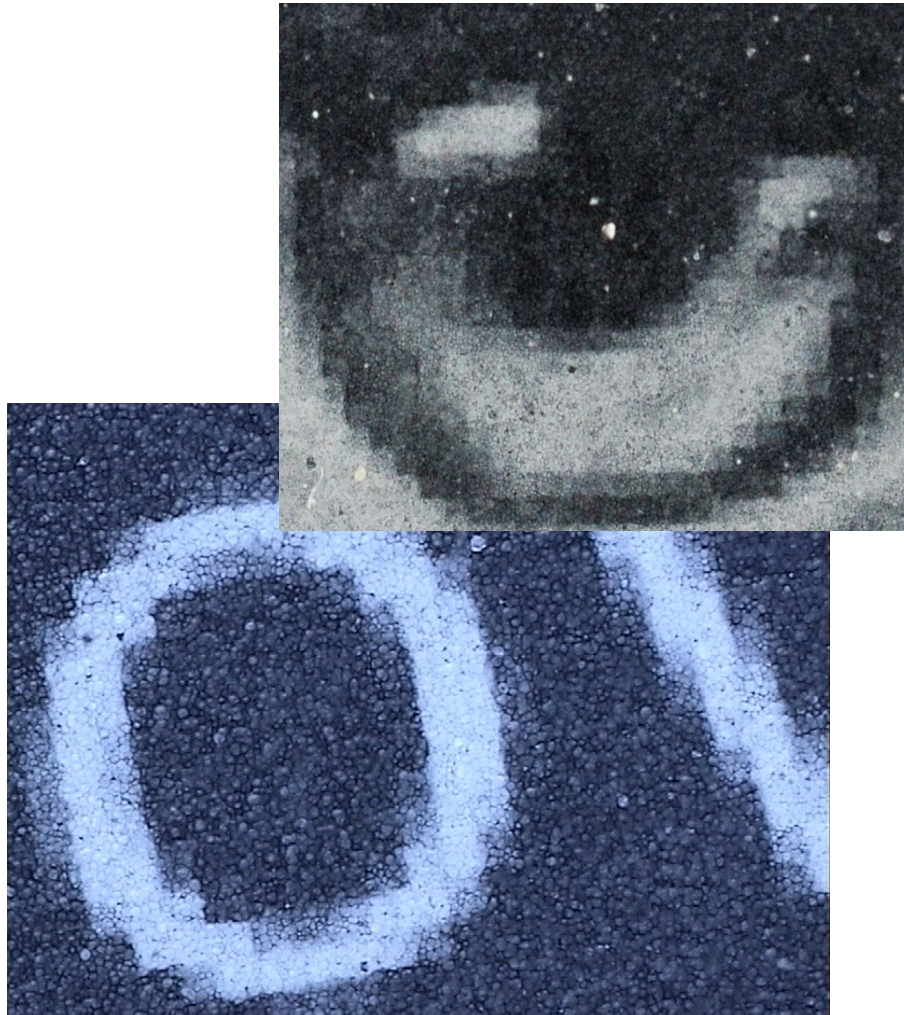
Afișaj subțire flexibil folosind e-ink

Display flexibil Sony organic light-emitting diode (OLED)

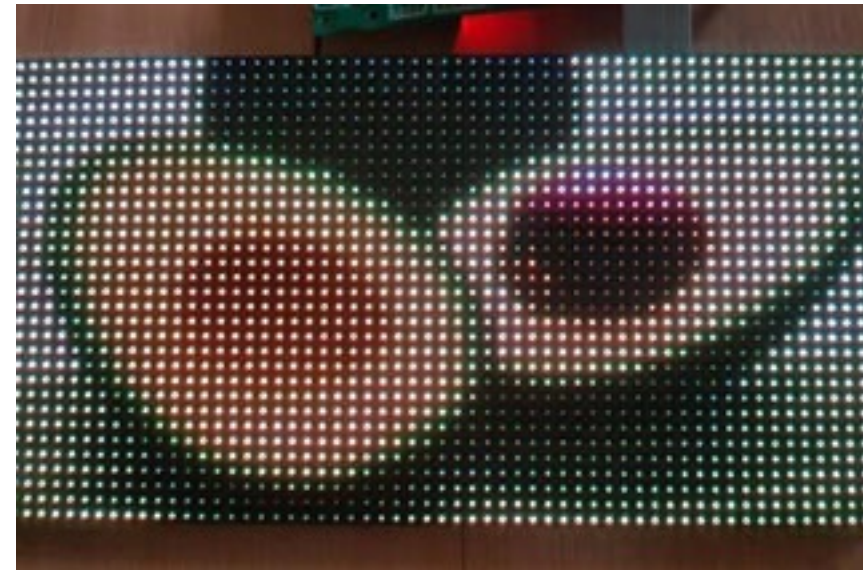
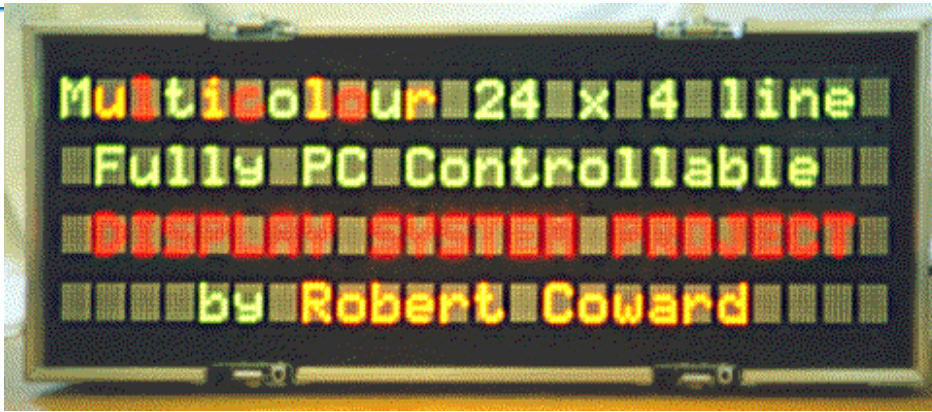




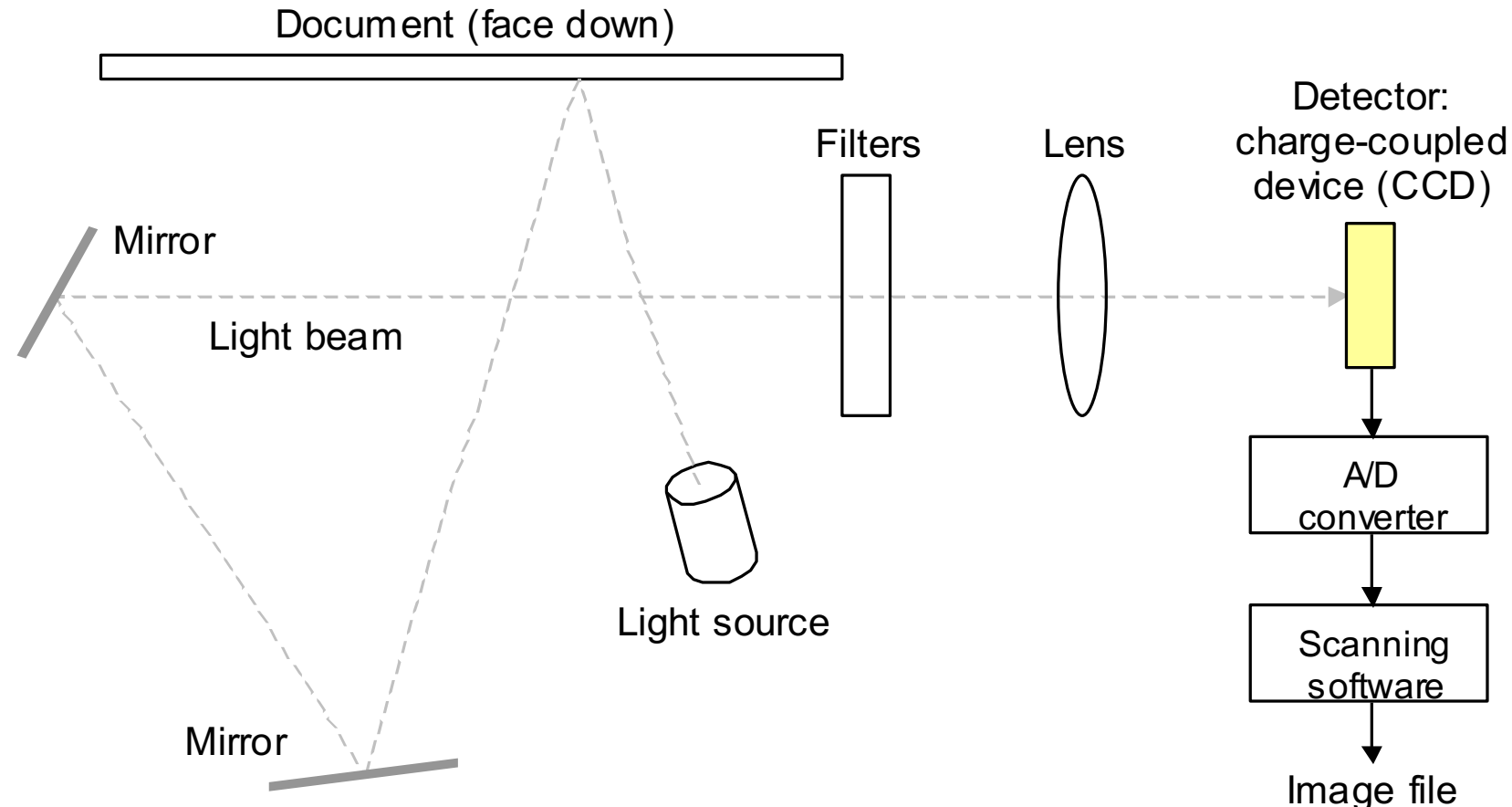
1. upper layer
2. transparent electrode layer
3. transparent micro-capsules
4. positive charged white pigments
5. negative charged black pigments
6. transparent oil
7. electrode pixel layer
8. bottom supporting layer
9. light
10. white
11. black



Alte tehnologii pentru display-uri

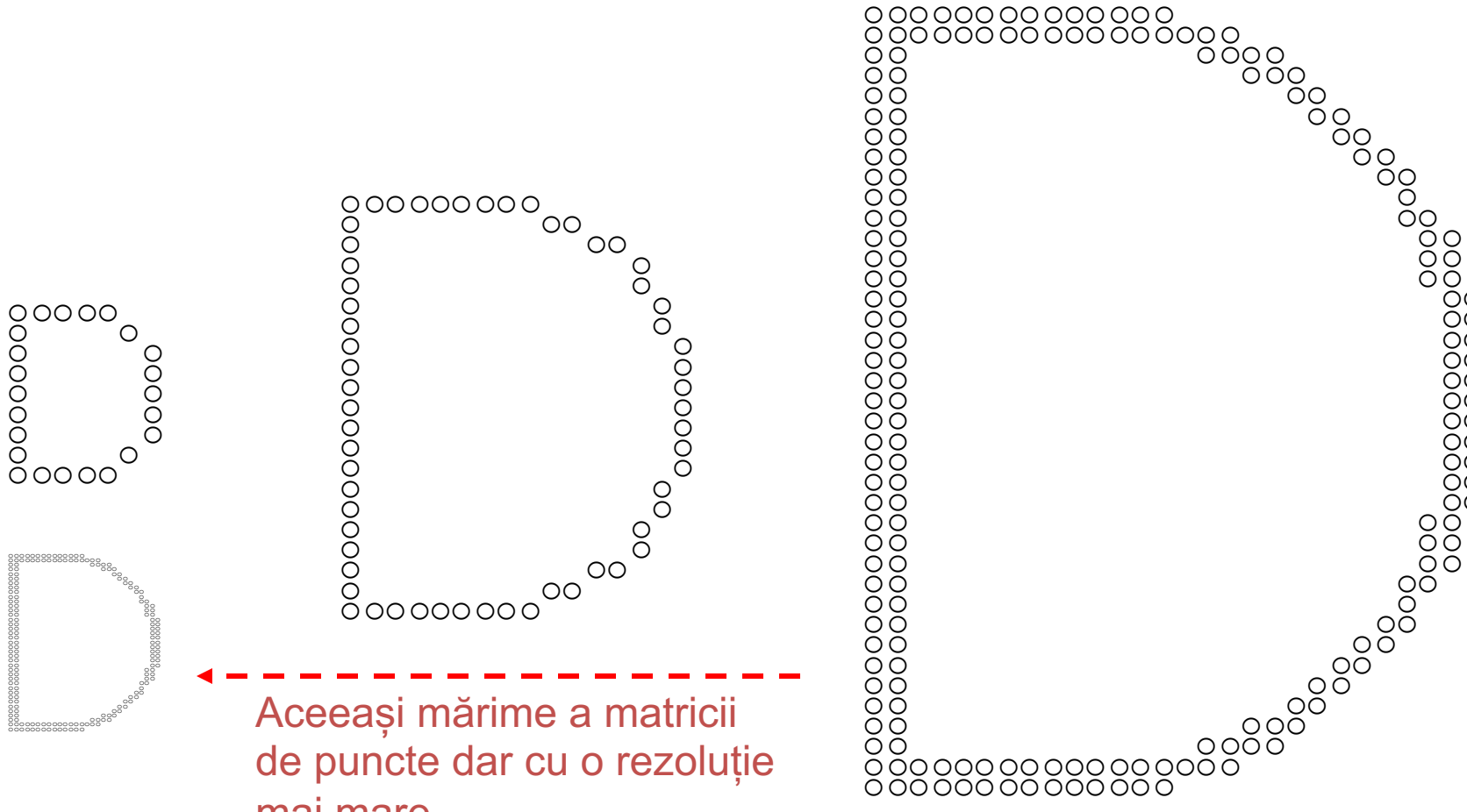


Dispozitive de tipărire



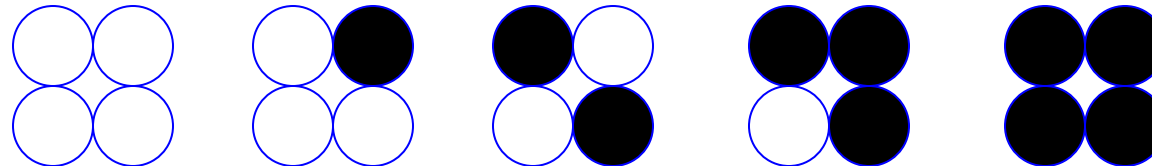
Mecanismul de scanare al imaginii într-un copiator modern.

Formarea caracterelor într-o imprimantă matriceală



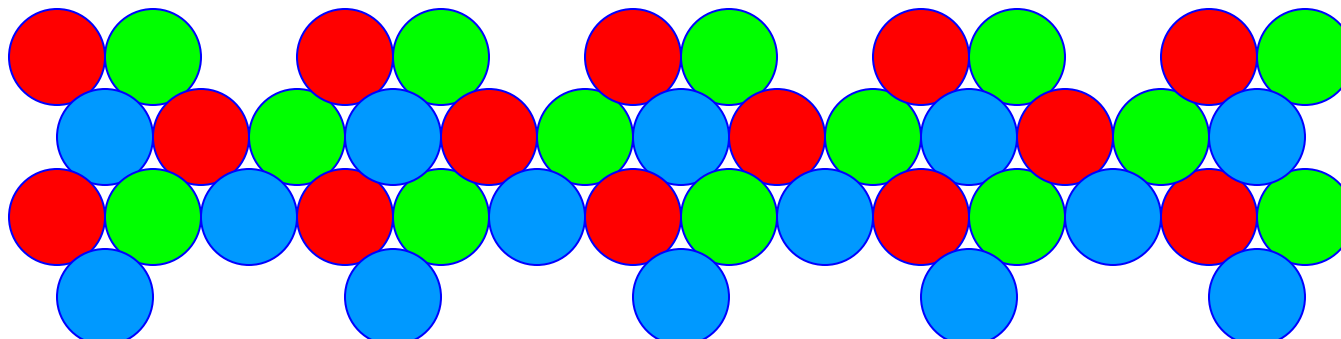
Formarea literei "D" folosind matrici de puncte de dimensiuni diferite

Simularea diferitelor niveluri de instensitate prin difuzia punctelor

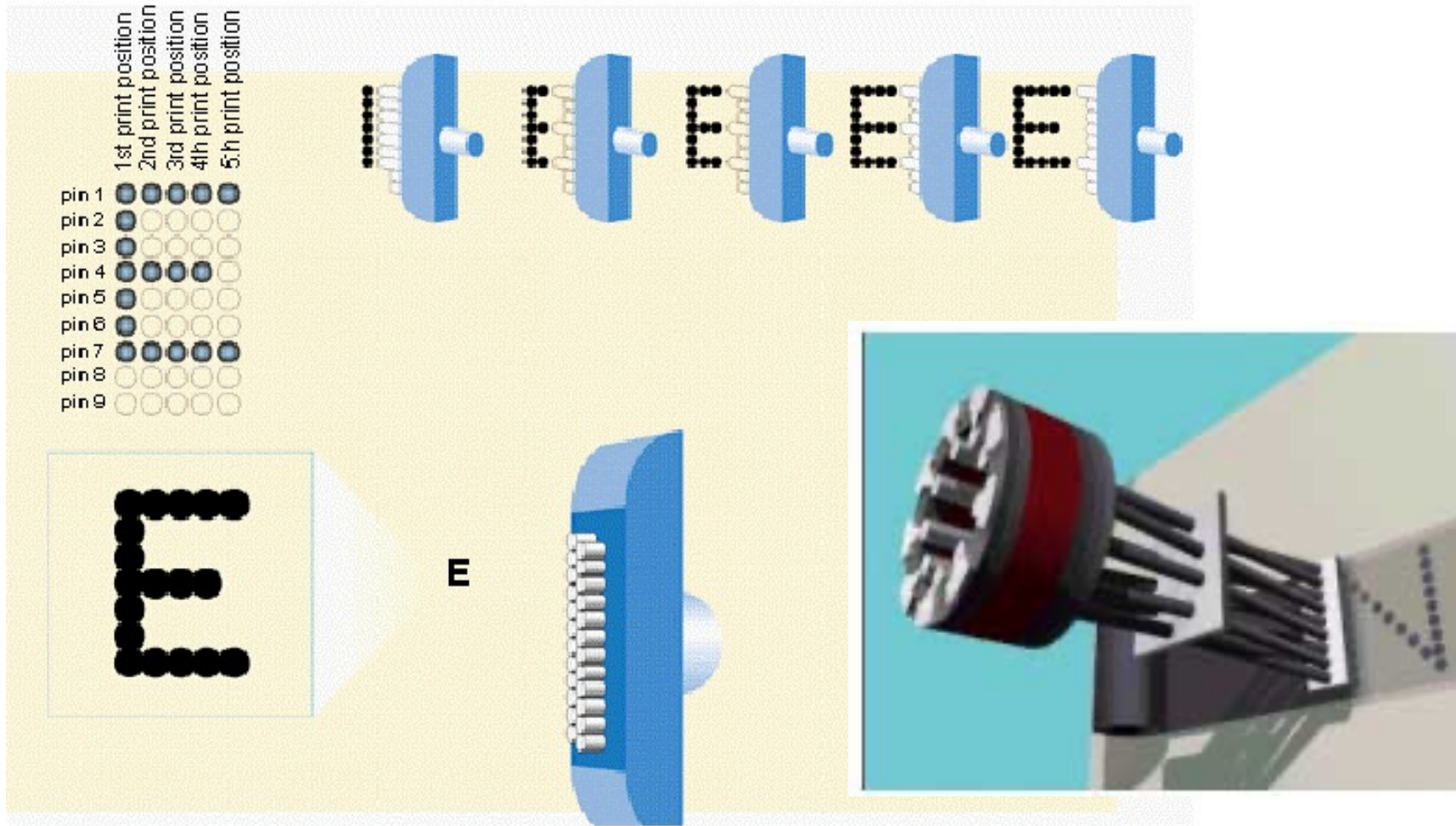


Formarea a cinci nivele de gri pe un dispozitiv care suportă doar alb și negru (e.g., imprimantă ink-jet sau laser)

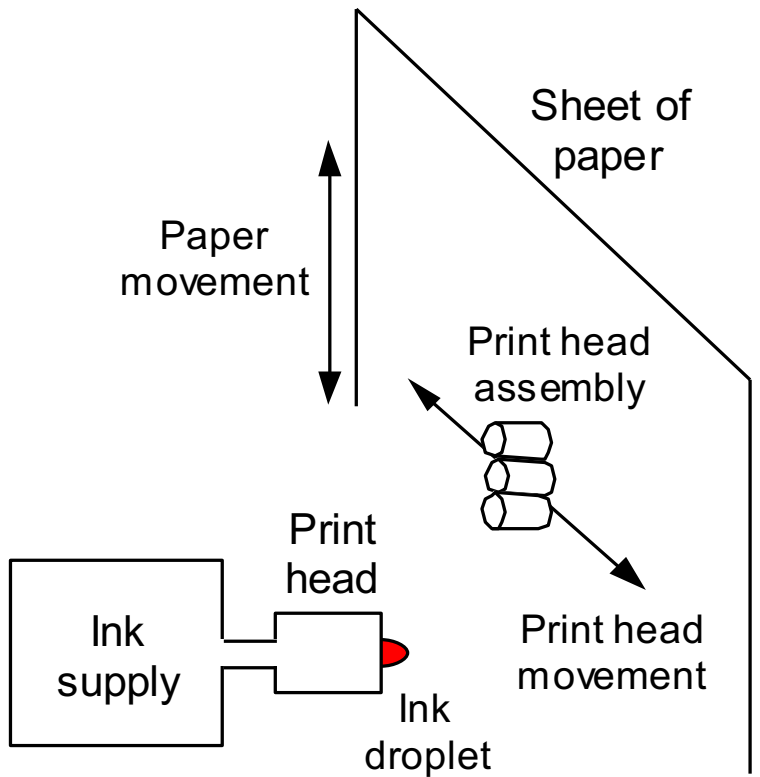
Folosirea acelorași modele în RGB pentru producerea a $5 \times 5 \times 5 = 125$ culori diferite



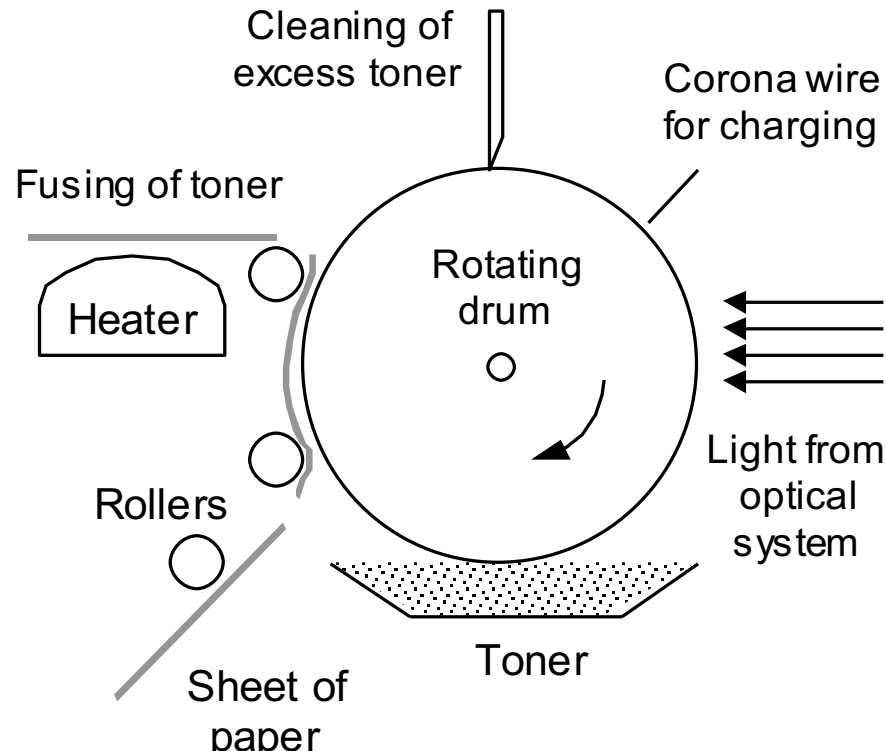
Mecanism de imprimare pentru o imprimantă dot-matrix



Unitate de tipărire



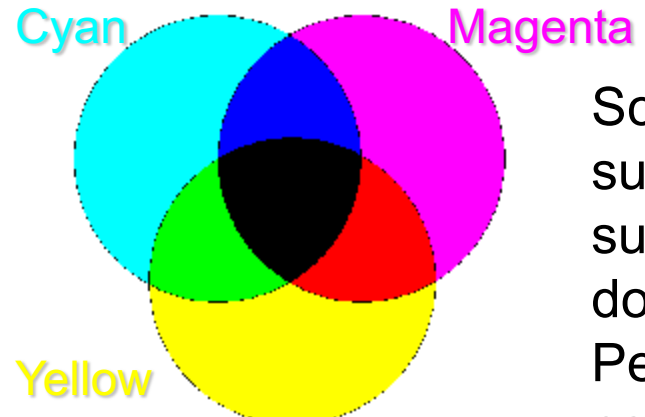
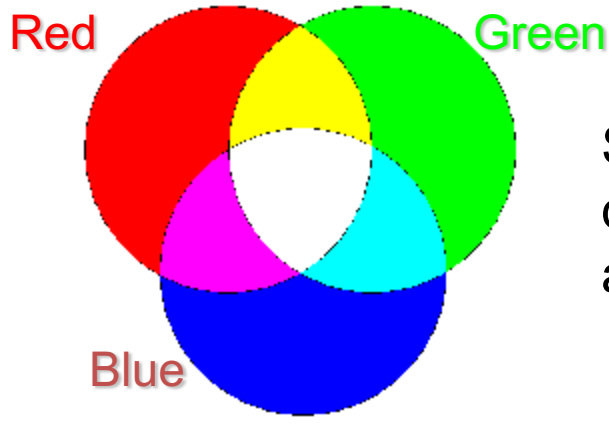
(a) Ink jet printing



(b) Laser printing

Imprimante Ink-jet și Laser.

Cum funcționează imprimantele color



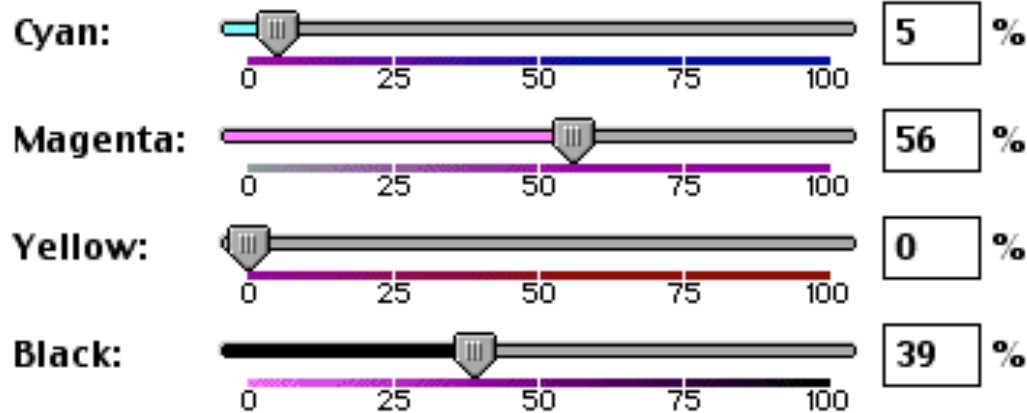
Schema RGB pentru un monitor este aditivă: diferite cantități de culoare primară sunt adăugate pentru a forma culoarea dorită.

Absența lui VERDE

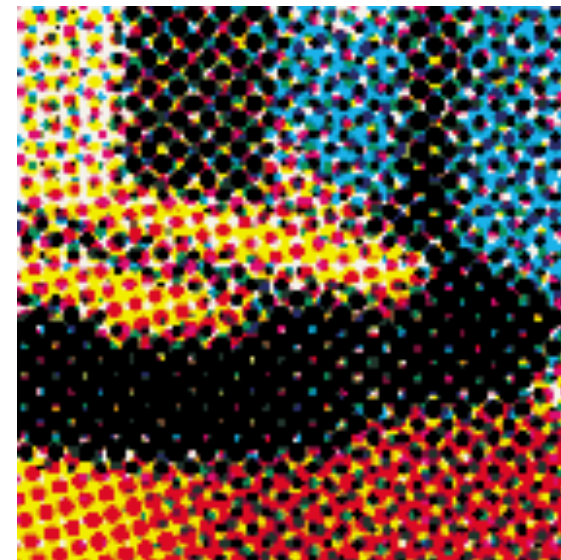
Schema de culori CMY pentru imprimante este subtractivă: diferite cantități de culoare primară sunt substrase din alb pentru a forma culoarea dorită

Pentru a produce o nuanță de negru mai bună este folosită schema CMYK (K = black)

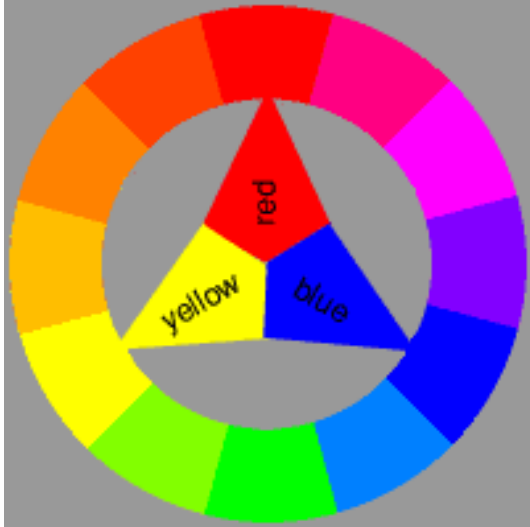
Procesul de imprimare CMYK



Illuzia unei
culori pure
folosind
puncte
CMYK

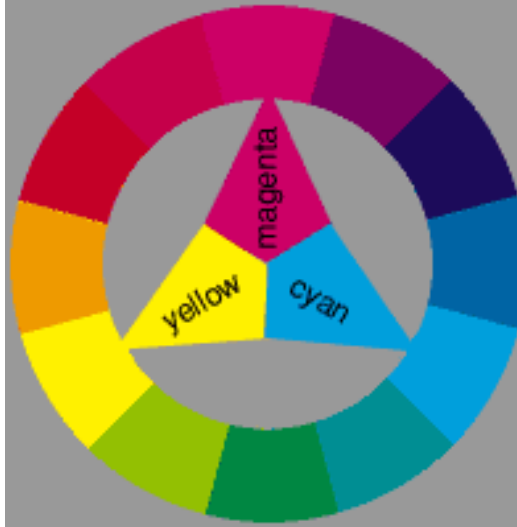


Roți de culoare

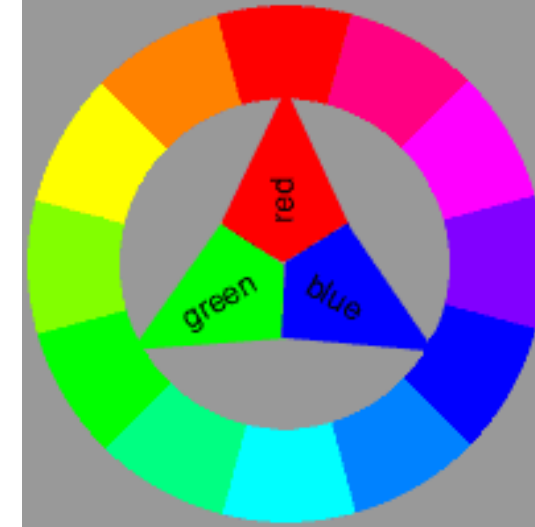


Paleta de culoare pentru artiști, folosită pentru amestecarea vopselurilor

Culorile primare apar la centru și la distanțe egale de-a lungul perimetrului paletei. Culorile secundare sunt la mijloc între culorile primare. Culorile terțiare sunt între cele primare și secundare.



Paleta de culori subtractivă pentru imprimare (CMYK)



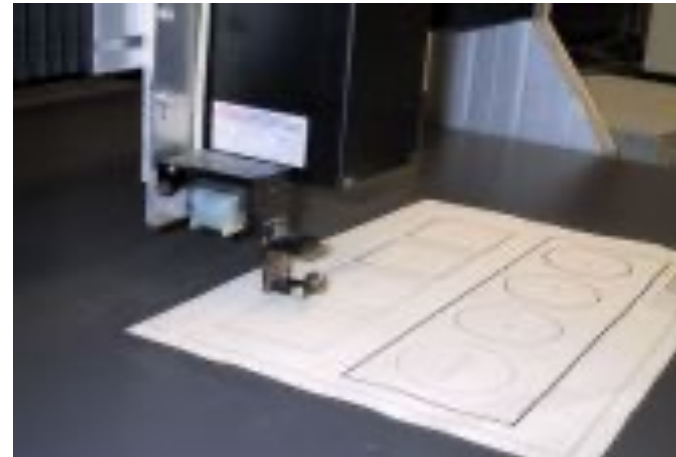
Paletă de culori aditivă, folosită în display-uri

SURE, I'LL CANCEL YOUR PRINT JOB



AS SOON AS I'M DONE PRINTING

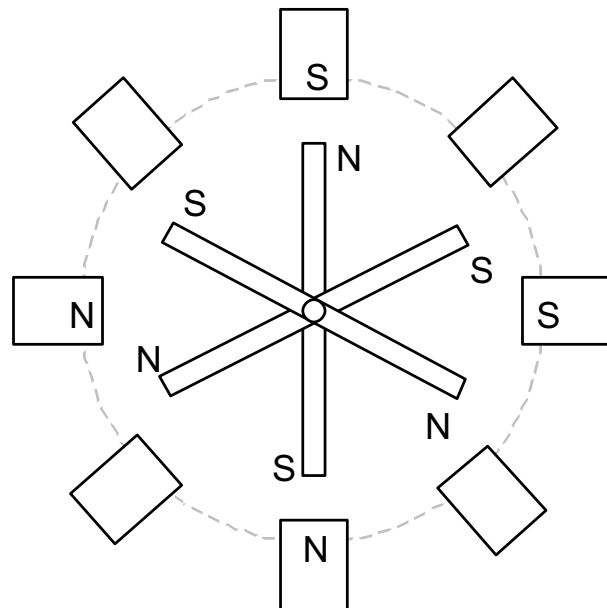
Alte dispozitive de I/O



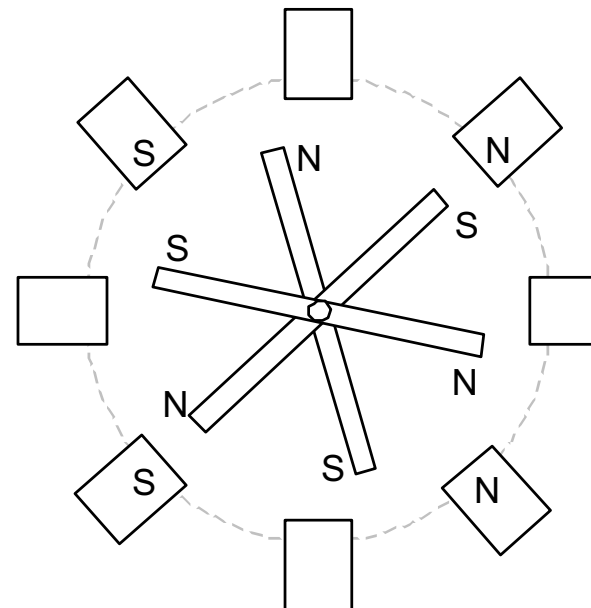
Senzori și actuatoare

Colectează informații despre mediul înconjurător

- Senzori de lumină (fotocelule)
- Senzori de temperatură (contact și noncontact)
- Senzori de presiune



(a) Initial state

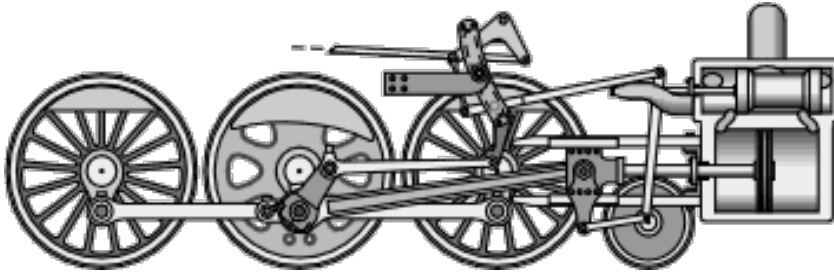


(a) After rotation

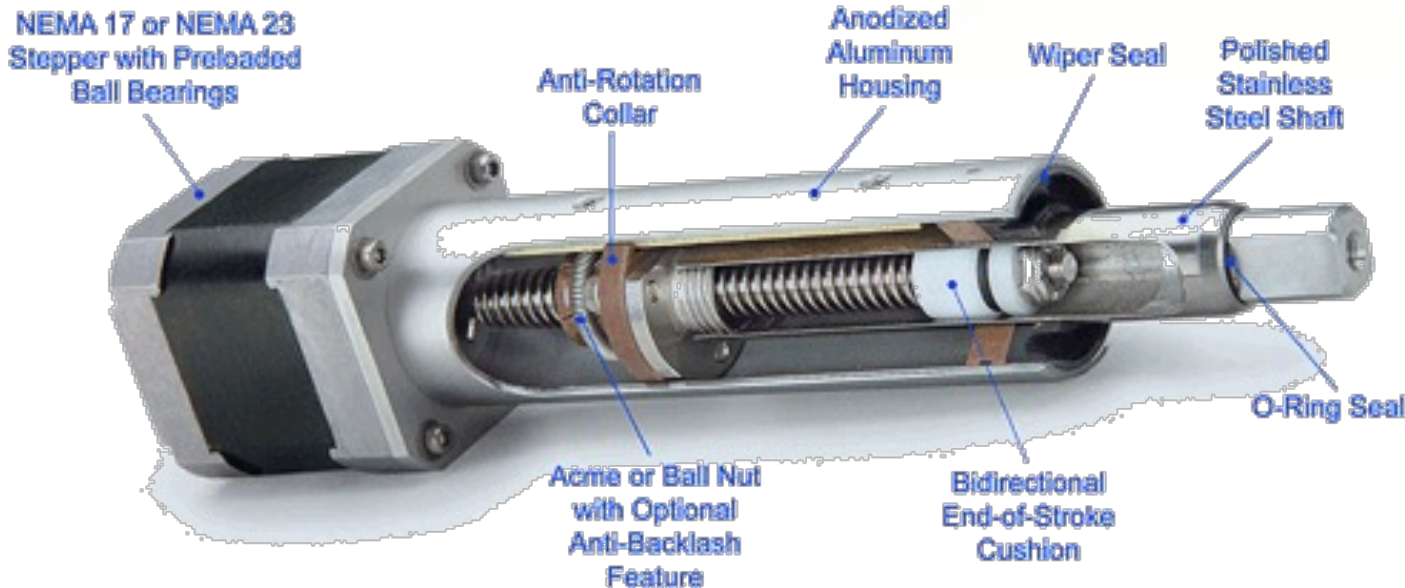
Principiul de operare pentru un motor pas cu pas

Convertirea mișcării circulare în mișcare liniară

Locomotivă



Șurub



Catedra de Calculatoare

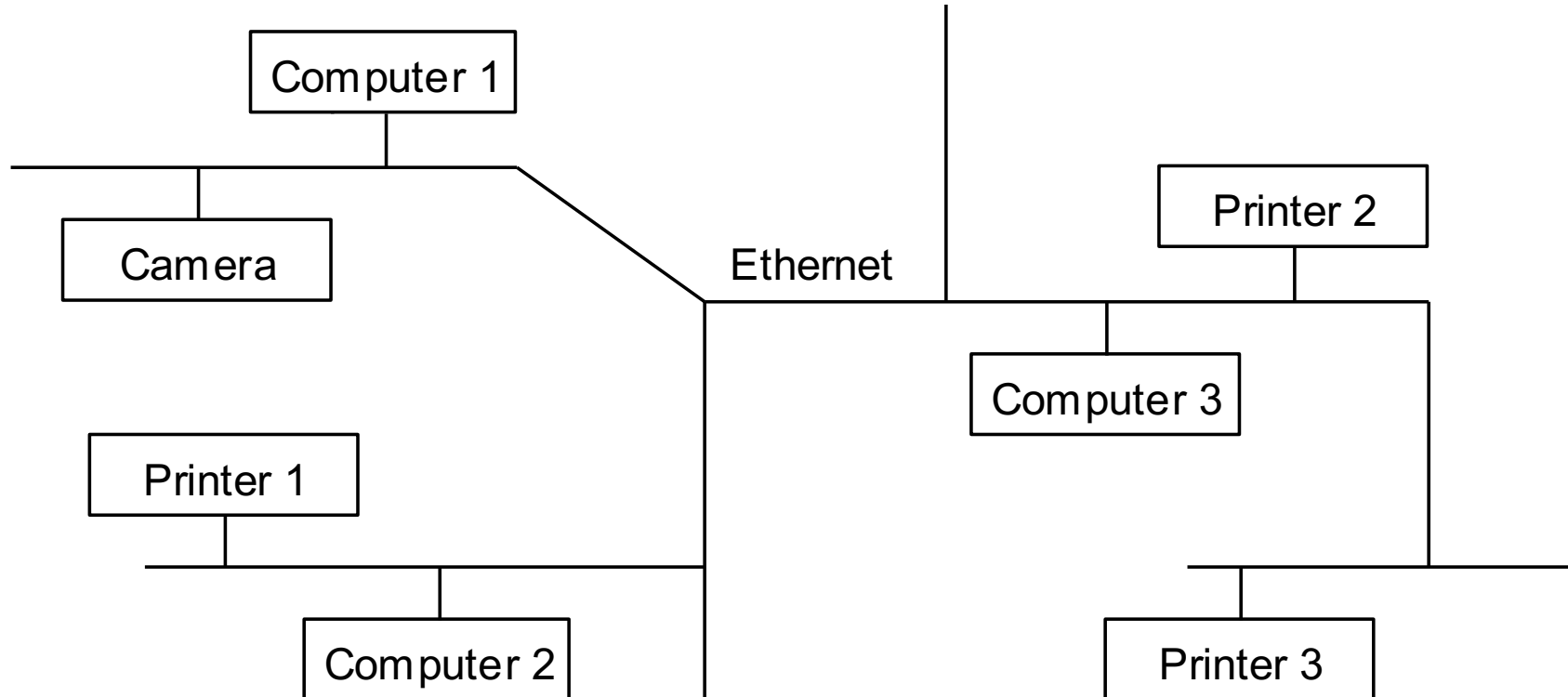
Facultatea de Automatică și Calculatoare



Calculatoare Numerice

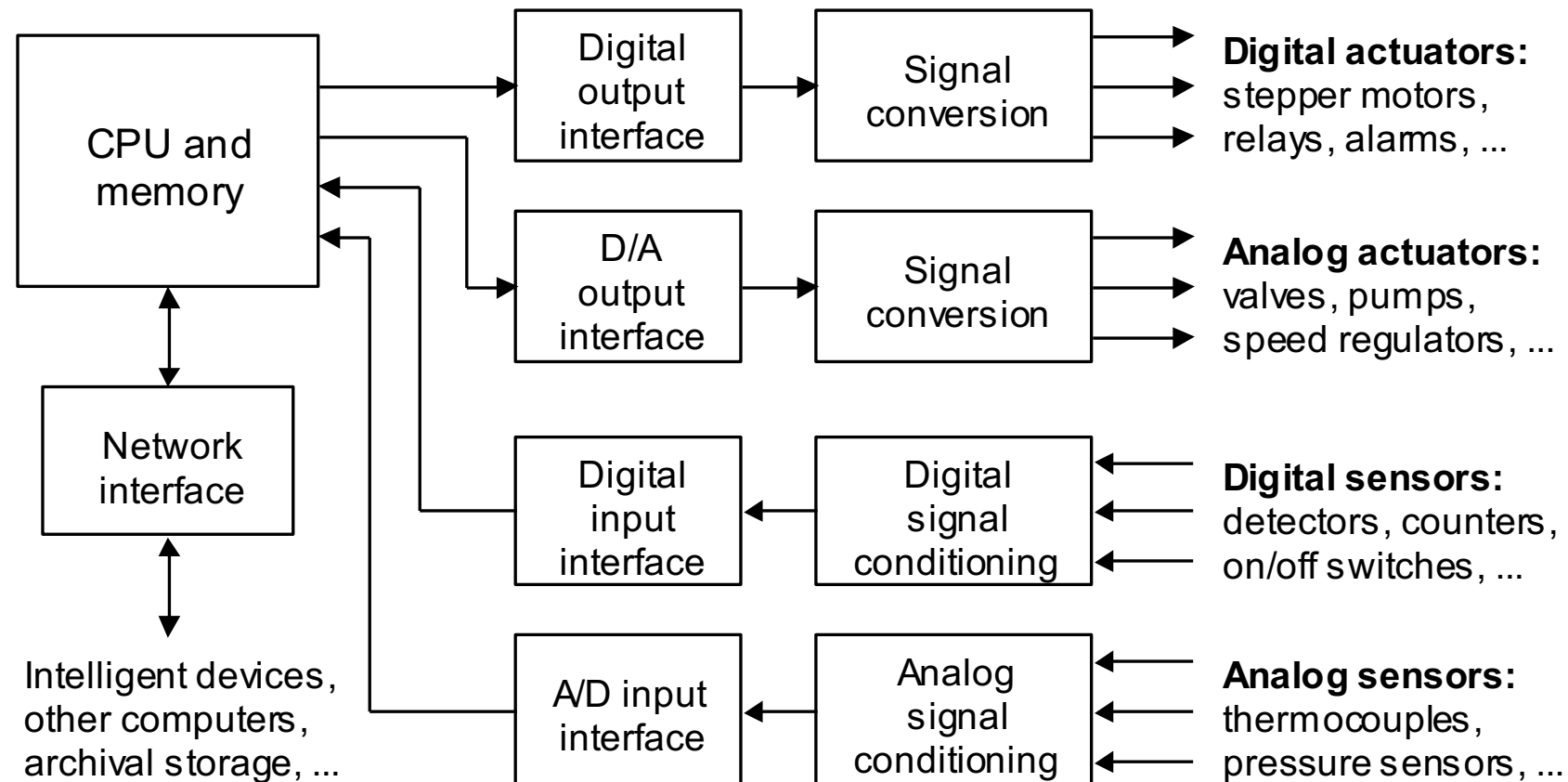
slide 31

Legarea în rețea a mai multor dispozitive de calcul



Pentru perifericele cu capabilități de rețea, I/O este făcut cu ajutorul transferului de fișiere.

Input/Output în sistemele de control și embedded



Structura unui sistem de control în buclă închisă.

Programarea Input/Output

Ca orice altceva, I/O-ul este controlat prin instrucțiuni în cod mașină

- Adresarea I/O (memory-mapped) și performanța acestuia
- Scheduled vs demand-based I/O: polling vs interrupts

Cuprins

1. Performanța I/O și benchmarking
2. Adresarea Input/Output
3. I/O planificat: Polling
4. Demand-Based I/O: Interrupts
5. Transfer de date I/O și DMA
6. Îmbunătățirea performanțelor I/O

Performanță și benchmarking pentru I/O

Zidul I/O

O aplicație de control industrial petreceea 90% din timp pentru operații cu CPU când a fost dezvoltată în anii 80. De atunci, componenta CPU fost actualizată la fiecare 5 ani dar componenta I/O a rămas neschimbată. Presupunând că performanța CPU s-a îmbunătățit de 10x cu fiecare upgrade, determinați fracțiunea de timp petrecută în operații I/O pe întreaga durată de viață a sistemului.

Soluție

Aplicăm legea lui Amdahl pentru 90% din task cu speedup de 10, 100, 1000 și 10000 peste o perioadă de 20 de ani. Pe parcursul acestor upgrade-uri, timpul de funcționare a fost redus de la originalul 1 la $0.1 + 0.9/10 = 0.19$, 0.109 , 0.1009 și 0.10009 , deci fractia de timp petrecut în operații I/O este 52.6, 91.7, 99.1 respectiv 99.9%. Ultimele două upgrade-uri de CPU nu au ajutat foarte mult.

Tipuri de Input/Output Benchmarking

Benchmarking pentru supercomputing I/O

- Citirea unei cantități mari de date de intrare
- Scrierea multor instanțe pentru checkpointing
- Salvarea unui set foarte mic de rezultate
- Productivitatea I/O, în MB/s, e importantă

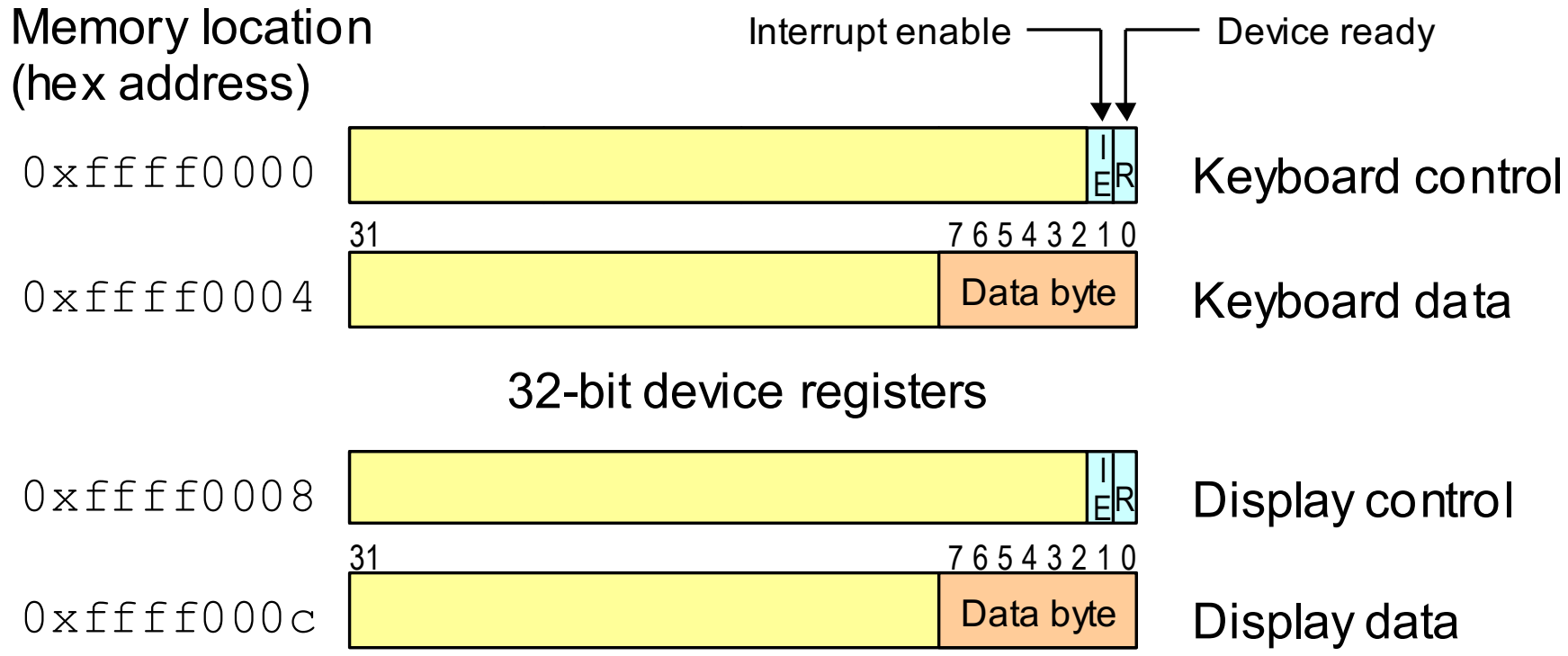
Benchmarking pentru procesarea tranzacțiilor I/O

- Bază de date imensă dar fiecare tranzacție este de mici dimensiuni
- Câteva (2-10) accesuri la disc per tranzacție
- Rata I/O (accese la disc pe secundă) este importantă

Benchmarking pentru file system I/O

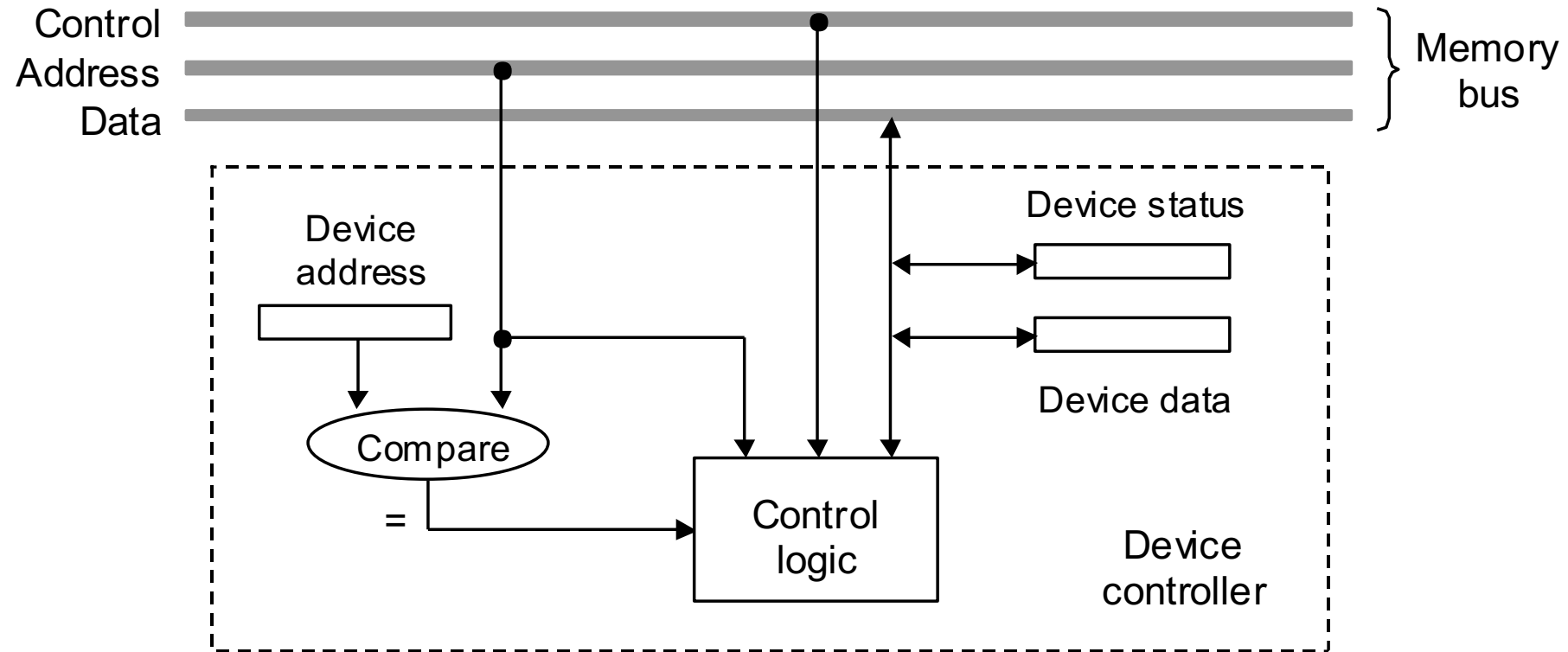
- Crearea unui fișier, managementul directoarelor, indexare...
- Benchmark-urile sunt de obicei specifice domeniului

Adresarea perifericelor I/O



Registre de control și date pentru tastatură și unitatea de display la procesorul MiniMIPS

Hardware pentru adresarea I/O

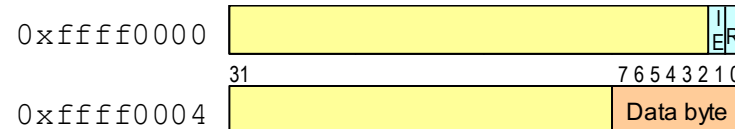


Logica de adresare pentru un controller I/O

Citirea datelor dintr-un periferic I/O

Exemplu de cod pentru procesorul MiniMIPS care așteaptă până când tastatura are de transmis un simbol apoi citește simbolul respectiv în registrul \$v0.

Soluție



Programul examinează în continuu registrul de control al tastaturii și ieșe din ciclul de "busy waiting" atunci când bitul R a fost activat.

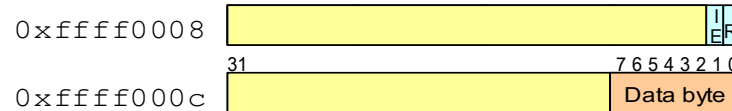
```
        lui    $t0,0xffff      # put 0xfffff0000 in $t0
idle:  lw     $t1,0($t0)    # get keyboard's control word
        andi   $t1,$t1,0x0001 # isolate the LSB (R bit)
        beq    $t1,$zero,idle # if not ready (R = 0), wait
        lw     $v0,4($t0)     # retrieve data from keyboard
```

Acest tip de citire este potrivit numai dacă procesorul așteaptă un input critic de la utilizator și nu poate continua în absență acestuia.

Scrierea de date într-un periferic I/O

Exemplu de secvență de cod pentru procesorul MiniMIPS pentru scrierea în unitatea de afișare. Programul așteaptă până când unitatea de display este gata să accepte un nou simbol apoi transferă conținutul registrului \$a0

Soluție



Programul examinează în continuu registrul de control al unității de display și ieșe din ciclul de busy waiting atunci când bitul R este activat de periferic.

```
        lui    $t0,0xffff      # put 0xfffff0000 in $t0
idle: lw     $t1,8($t0)      # get display's control word
      andi $t1,$t1,0x0001 # isolate the LSB (R bit)
      beq  $t1,$zero,idle # if not ready (R = 0), wait
      sw    $a0,12($t0)      # supply data to display unit
```

Acest tip de scriere este potrivit doar dacă ne permitem să avem un procesor dedicat scrierii în unitatea de display.

I/O planificat: Polling

Ce procent din timpul de execuție al unui procesor de 1GHz este petrecut în polling dacă fiecare acces durează 800 cicli de ceas?

Tastatura trebuie să fie interogată cel puțin de 10 ori pe secundă

Unitatea floppy trimite pachete de 4 octeți la o rată de 50 KB/s

Hard discul trimite pachete de 4 octeți la o rată de 3 MB/s

Soluție

Pentru tastatură, împărțim numărul de cicli necesari pentru 10 interogări cu numărul de cicli disponibili într-o secundă:

$$(10 \times 800)/10^9 \cong 0.001\%$$

Unitatea floppy trebuie interogată de $50K/4 = 12.5K$ ori pe secundă

$$(12.5K \times 800)/10^9 \cong 1\%$$

Unitatea hard disk trebuie interogată $3M/4 = 750K$ ori pe secundă

$$(750K \times 800)/10^9 \cong 60\%$$

I/O asincron: Întreruperi

Luăm hard disk-ul din exemplul anterior (transferul de pachete de 4B la 3 MB/s atunci când e activ). Presupunem că discul este activ 5% din timp.

Overhead-ul generat de întreruperea CPU-ului și efectuarea transferului este de 1200 cicli de ceas. Ce procent din timpul total de execuție al unui CPU de 1GHz este petrecut în operații cu hard disk-ul?

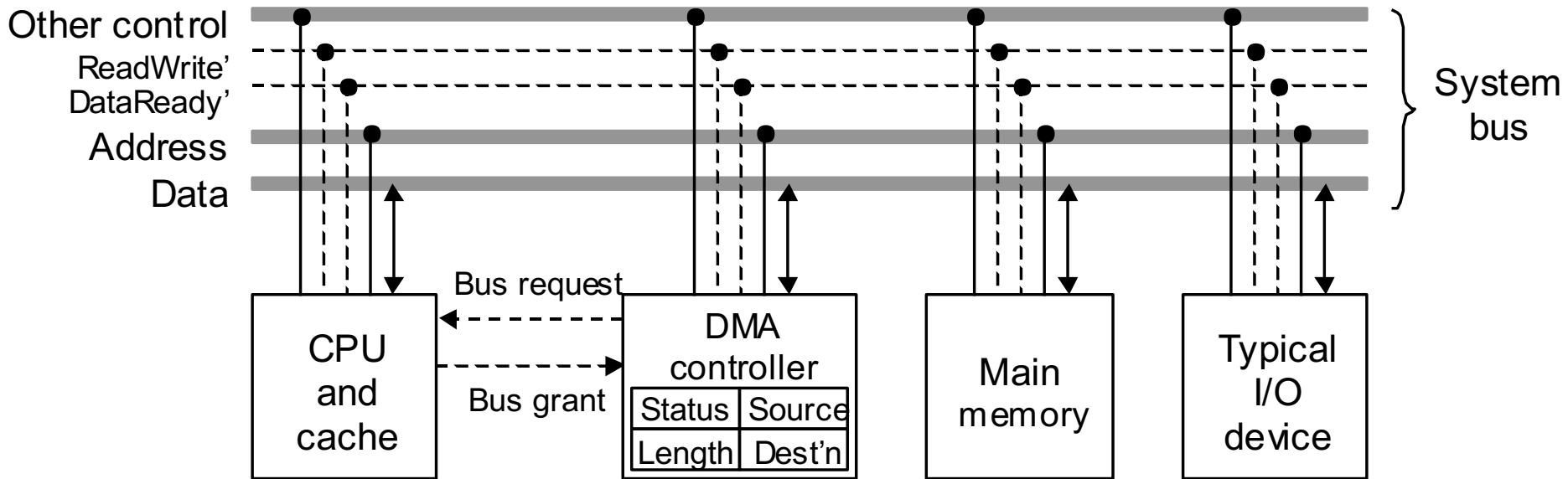
Soluție

Atunci când e activ, hard disk-ul produce 750K întreruperi pe secundă

$$0.05 \times (750K \times 1200) / 10^9 \cong 4.5\% \text{ (în comparație, aveam 60% pt polling)}$$

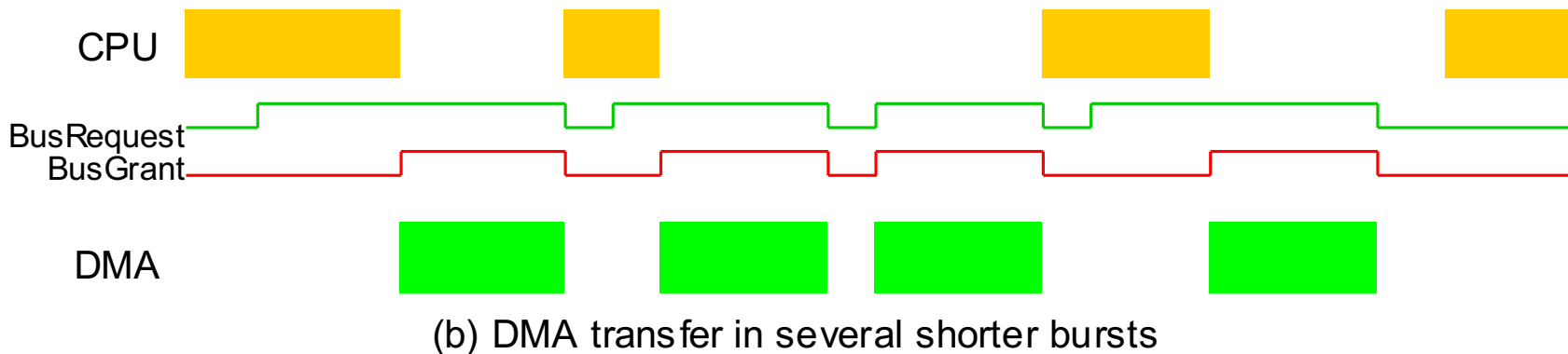
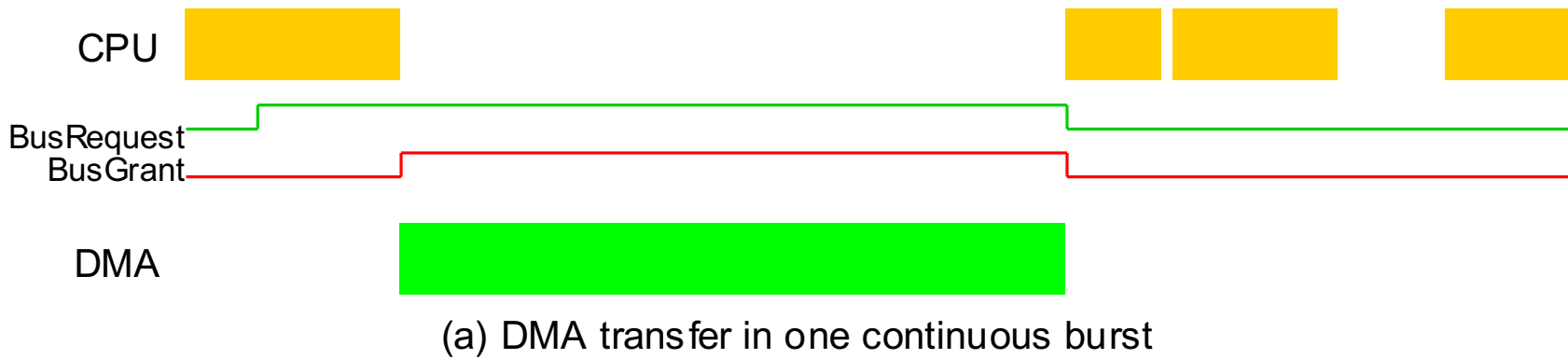
Chiar dacă întreruperea CPU-ului pentru polling generează o penalizare mai mare, din cauză că discul este în general nefolosit, operațiile bazate pe întreruperi duc la performanță mărită.

Transferul de date I/O și DMA



Un controller DMA partajează aceeași magistrală de memorie cu procesorul.

Operații DMA



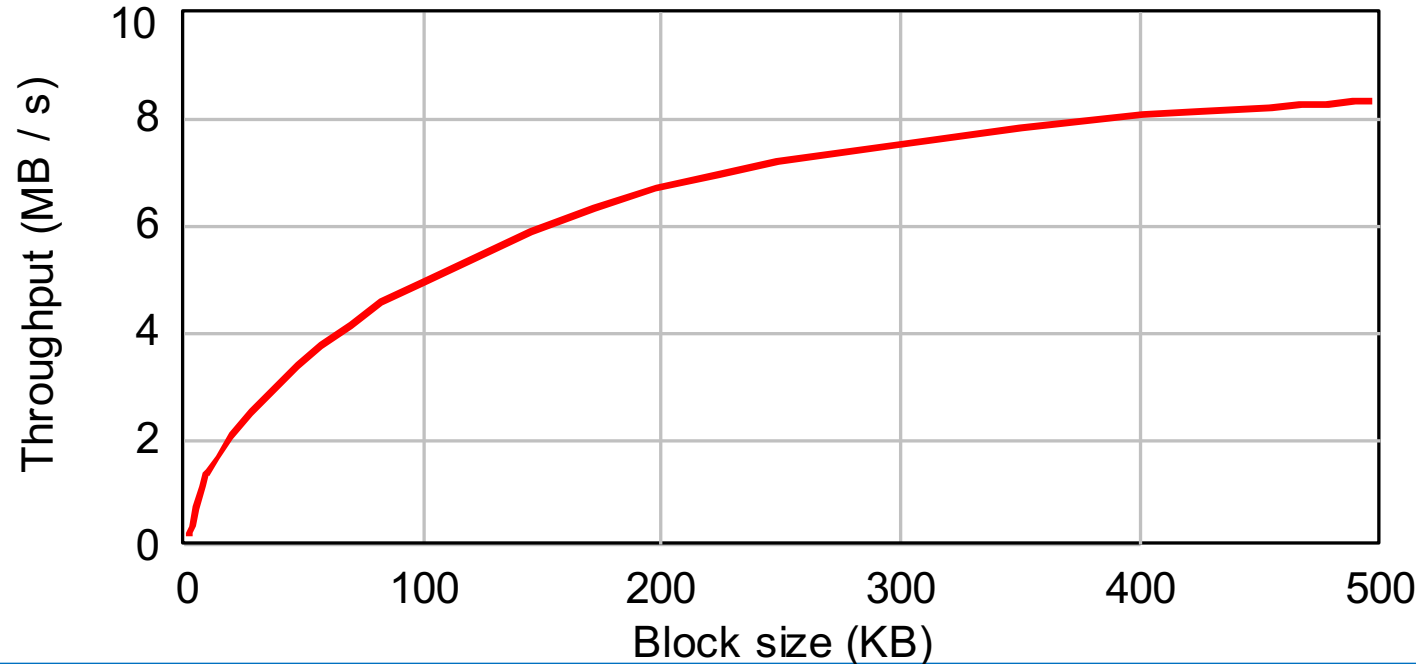
Funcționarea DMA și semnalele asociate de control de pe magistrală.

Îmbunătățirea performanțelor I/O

Lățimea de bandă I/O efectivă pentru o unitate de disc

Avem un hard disk cu sectoare de 512B și o latență medie de acces de date de 10ms la rata maximă de transfer de 10MB/s. Afipați grafic variația lățimii de bandă efective pe măsură ce unitatea de transfer de date (bloc de date) variază în dimensiune de la 1 sector (0.5 KB) la 1024 sectoare (500 KB).

Soluție



Calcularea productivității efective

Lățimea de bandă efectivă pentru I/O cu unitatea de disc

Timp total de acces pentru x octeți = $10 \text{ ms} + \text{xfer time} = (0.01 + 10^{-7}x) \text{ s}$

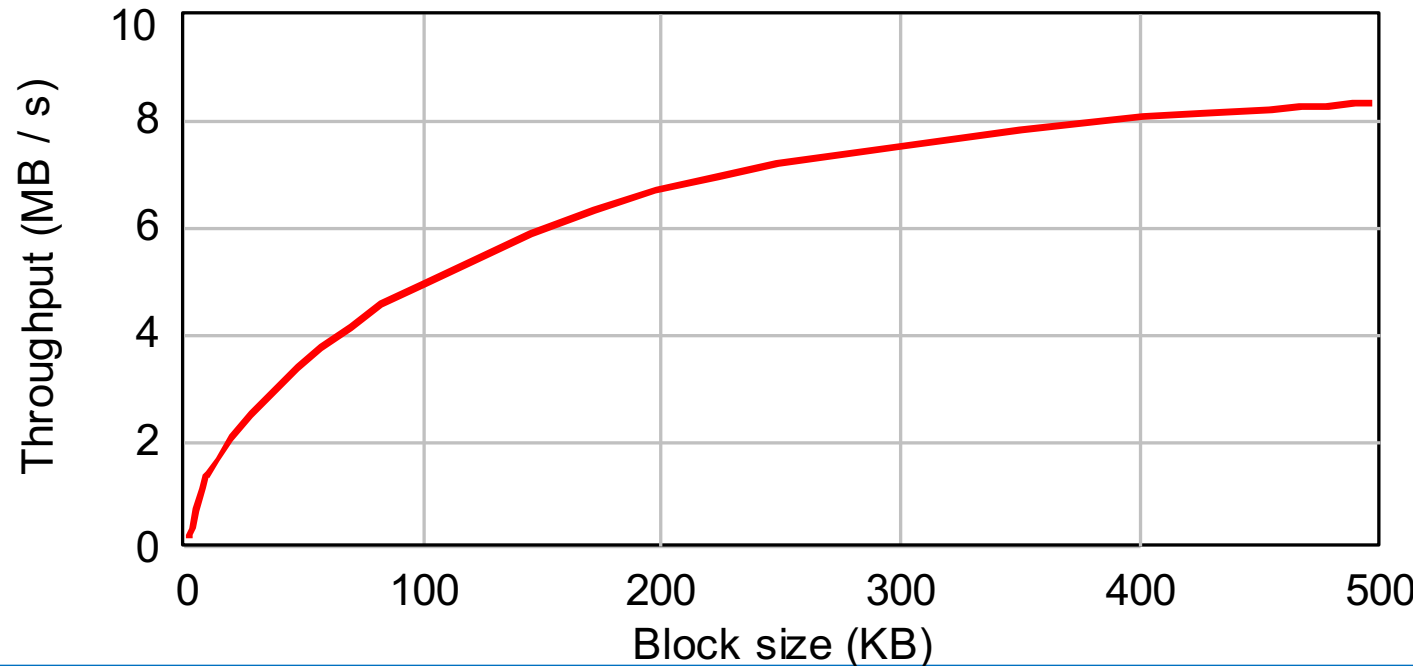
Timp de acces efectiv pentru un octet = $(0.01 + 10^{-7}x)/x \text{ s/B}$

Rata efectivă de trasfer = $x/(0.01 + 10^{-7}x) \text{ B/s}$

Pentru $x = 100 \text{ KB}$: Rata efectivă de transfer = $10^5/(0.01 + 10^{-2}) = 5 \times 10^6 \text{ B/s}$

Latență
medie
= 10 ms

Throughput
maxim
= 10 MB/s



Magistrale, legături și interfațare

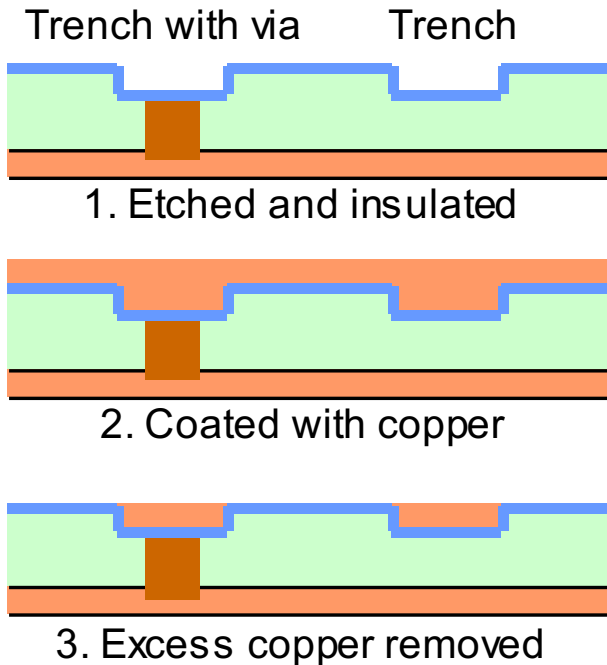
Magistralele de date partajate sunt des întâlnire în calculatoarele moderne:

- Mai puține fire și conexiuni, flexibilitate și extensibilitate
- Trebuie să implementeze mecanisme de arbitrage și sincronizare

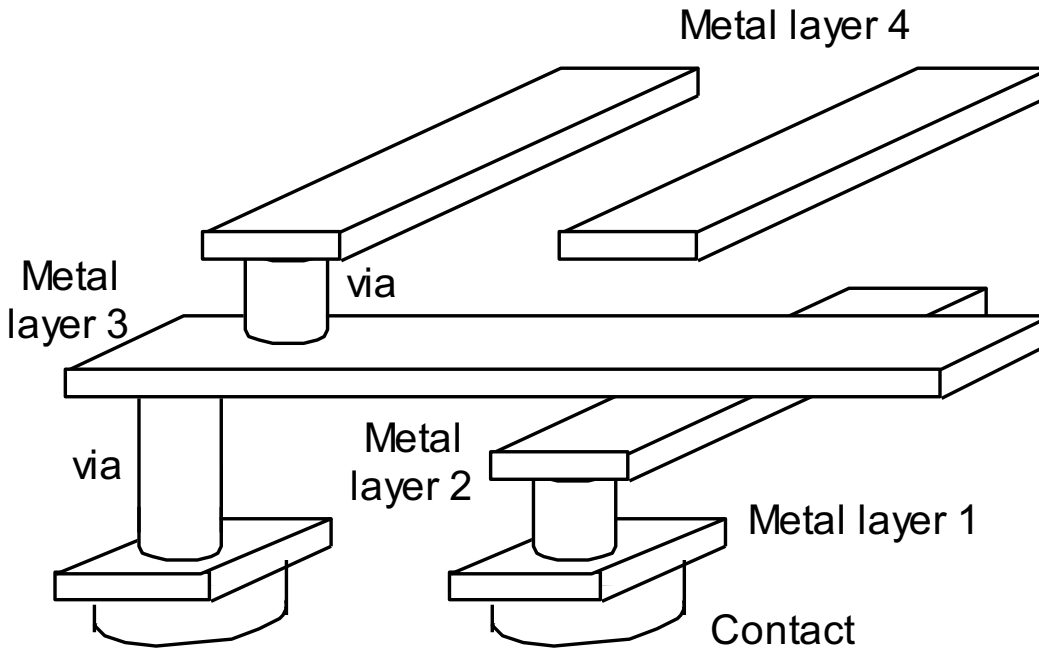
Cuprins

1. Legături Intra- și Inter-sistem
2. Legături între sisteme
3. Protocole de comunicație pe magistrală
4. Arbitrage și performanță
5. Interfațare
6. Standarde pentru interfațare

Legături inter și intra-sistem



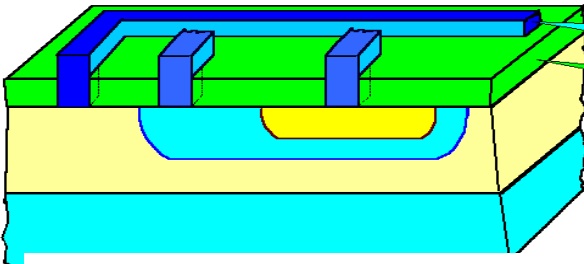
(a) Cross section of layers



(b) 3D view of wires on multiple metal layers

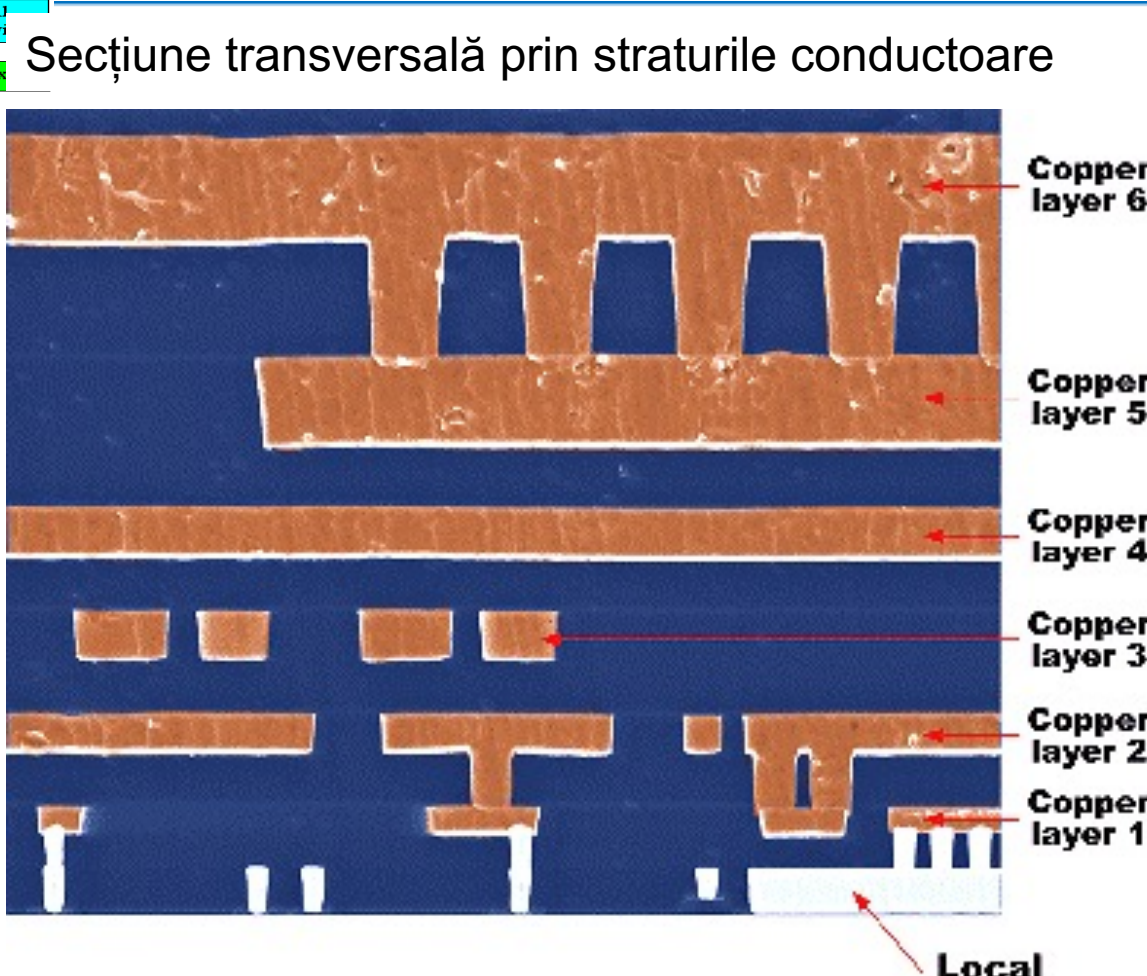
Conecțivitatea în interiorul micropresoarelor și a circuitelor imprimate (PCB) este realizată prin straturi multiple de conductori.

Straturi multiple metalizate pe un microchip sau un PCB

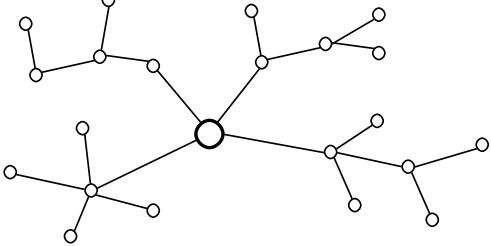


Elementele active și conexiunile dintre ele

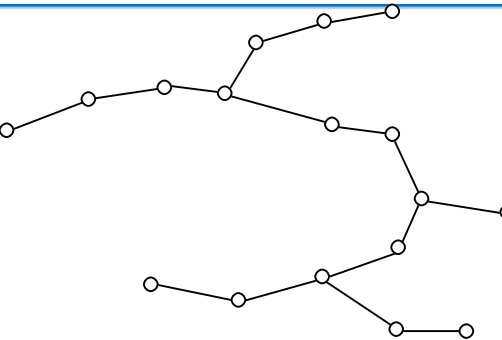
- Chipurile moderne au în jur de 8-9 straturi de conductor metalizat
- Straturile superioare conțin de obicei liniile mai lungi sau conexiunile pentru alimentare



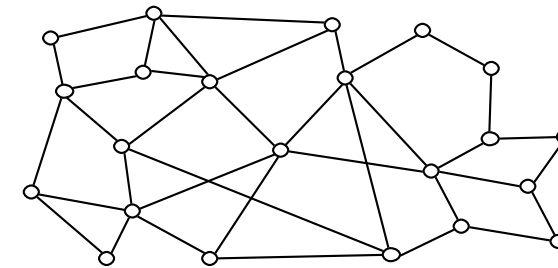
Legături între sisteme



(a) RS-232

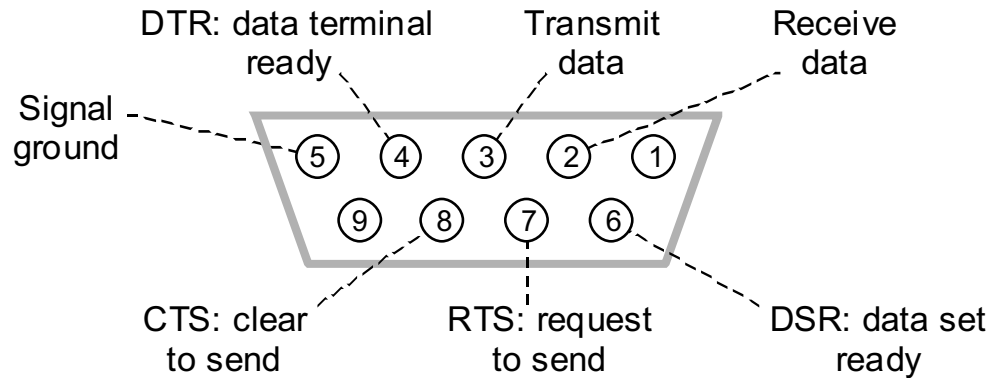


(b) Ethernet



(c) ATM

Exemple de scheme de conexiune pentru diferite protocoale

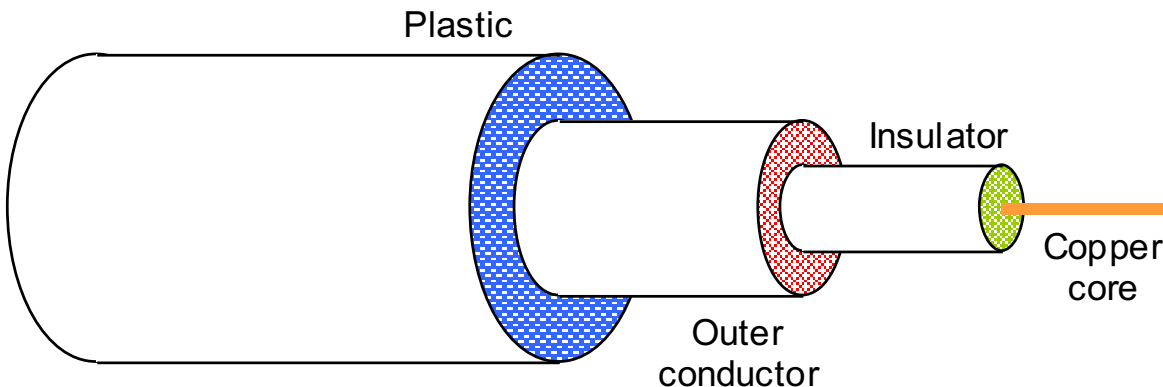


Interfața serială RS-232. Conectorul de 9 pini și semnalele standard.

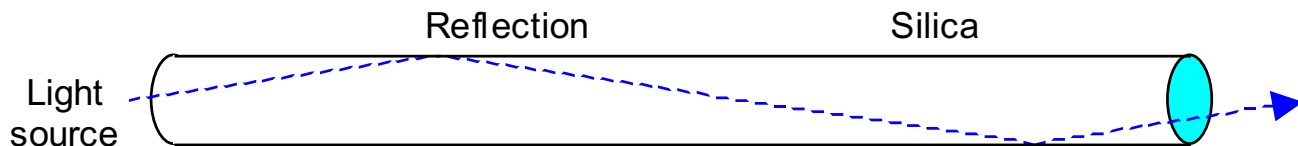
Medii de comunicație a datelor



Twisted pair



Coaxial cable



Optical fiber

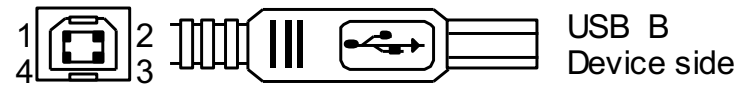
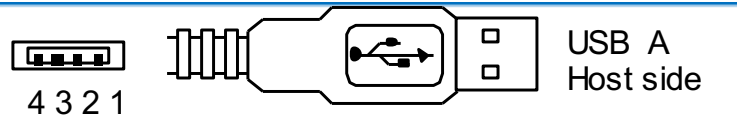
Cele mai folosite medii de comunicație de date pentru transmisia prin cablu.

Comparație între legăturile dintre sisteme

Performanțele celor trei protocoale de conectare prezentate

Proprietăți	USB 3.0	Ethernet	ATM
Lungime maximă segment (m)	~10m	~100m	~1000m
Lungime maximă rețea(m)	~10m	~100m	Nelimitat
Bit rate (Mb/s)	Up to 600	10/100/1000	155-2500
Unitate de transmisie (B)	1	~100	53
Latență maximă (ms)	< 1	10-100	100
Domeniul tipic de aplicație	Input/Output	LAN	Backbone
Complexitatea și costul unității	Mic	Mic	Mare

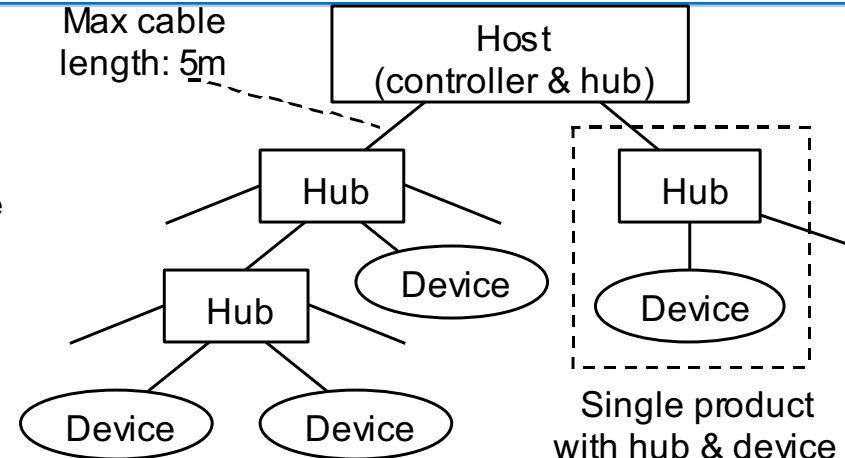
Conecatori standard



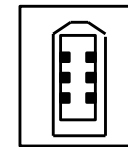
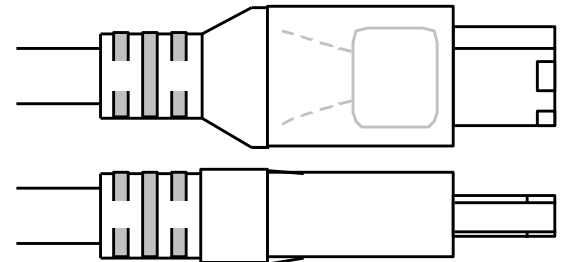
Pin 1: +5V DC
Pin 4: Ground

Pin 2: Data –
Pin 3: Data +

Max cable length: 5m



Conecatori USB și structura de conectivitate.



Pin 1: 8-40V DC, 1.5 A
Pin 2: Ground
Pin 3: Twisted pair B –
Pin 4: Twisted pair B +
Pin 5: Twisted pair A –
Pin 6: Twisted pair A +
Shell: Outer shield

Conecotor IEEE 1394 (FireWire). Același conector este folosit la ambele capete.

Acknowledgements

- These slides contain material developed and copyright by:
 - Arvind (MIT)
 - Krste Asanovic (MIT/UCB)
 - Joel Emer (Intel/MIT)
 - James Hoe (CMU)
 - John Kubiatowicz (UCB)
 - David Patterson (UCB)
 - MIT material derived from course 6.823
 - UCB material derived from course CS252
-